平成27年度関東地方大気環境対策推進連絡会 浮遊粒子状物質調査会議 講演会

日時:平成27年3月17日(木)

13時15分から16時30分まで

場所:山梨県庁防災新館4階

401~404会議室

次 第

1 開会

挨拶 山梨県森林環境部 参事 深澤 武彦

- 2 講演
 - (1) 微小粒子状物質 (PM_{2.5}) の現状と今後の取組について 環境省水・大気環境局 大気環境課 井土 八造 氏
 - (2) PM_{2.5}の健康影響に関する疫学研究 兵庫医科大学 公衆衛生学教室 島 正之 氏
 - (3) PM_{2.5}の煙源情報の整備について
 - (4) 関東甲信静におけるPM_{2.5}のキャラクタリゼーション
 - 関東SPM合同調査 平成26年度のまとめ -

山梨県福祉保健部 衛生環境研究所 大橋 泰浩

一般財団法人日本環境衛生センター 高橋 克行 氏

- 3 その他
- 4 閉会
- <配布資料>

平成27年度関東地方大気環境対策推進連絡会 浮遊粒子状物質調査会議講演要旨集

平成27年度

関東地方大気環境対策推進連絡会 浮遊粒子状物質調査会議 講演会

講演要旨集

期日 平成 28 年 3 月 17 日 (木)

場所 山梨県庁防災新館 4階 401~404 会議室

共催 大気環境学会関東支部浮遊粒子状物質部会

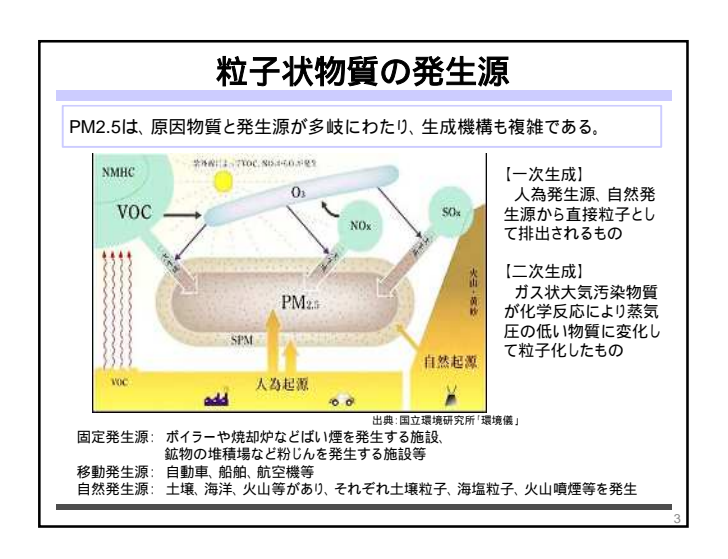
資料目次

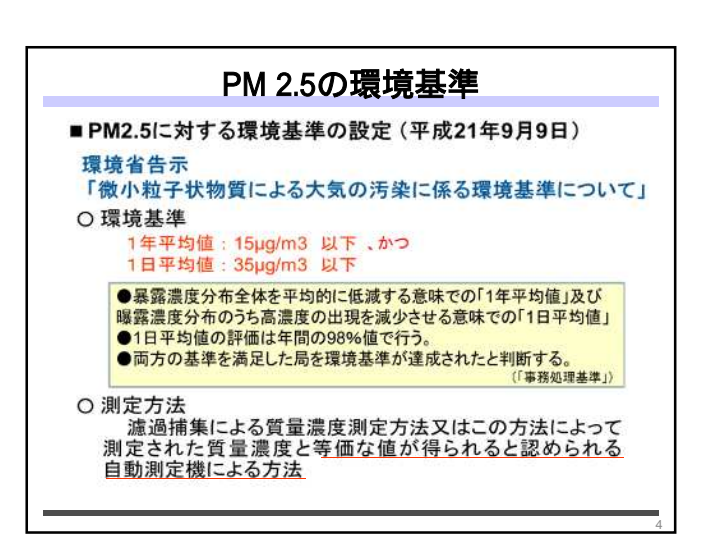
(1)	微小粒子状物質 (PM _{2.5}) の現状と今後の取組について・・ 1
(2)	PM _{2.5} の健康影響に関する疫学研究・・・・・・・ 7
(3)	PM _{2.5} の煙源情報の整備について・・・・・・・・15
(4)	関東甲信静におけるPM _{2.5} のキャラクタリゼーション
	- 関東SPM合同調査 平成26 年度のまとめ - ・・ 1 8

微小粒子状物質(PM2.5)の 現状と今後の取組について

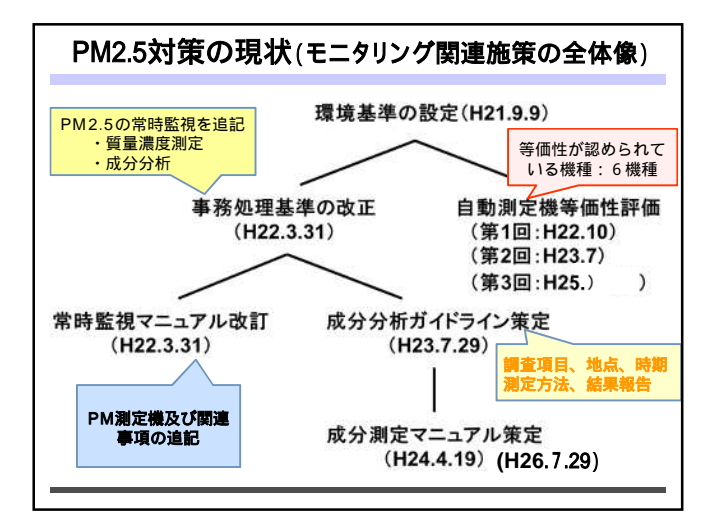
平成28年1月 環境省水·大気環境局大気環境課







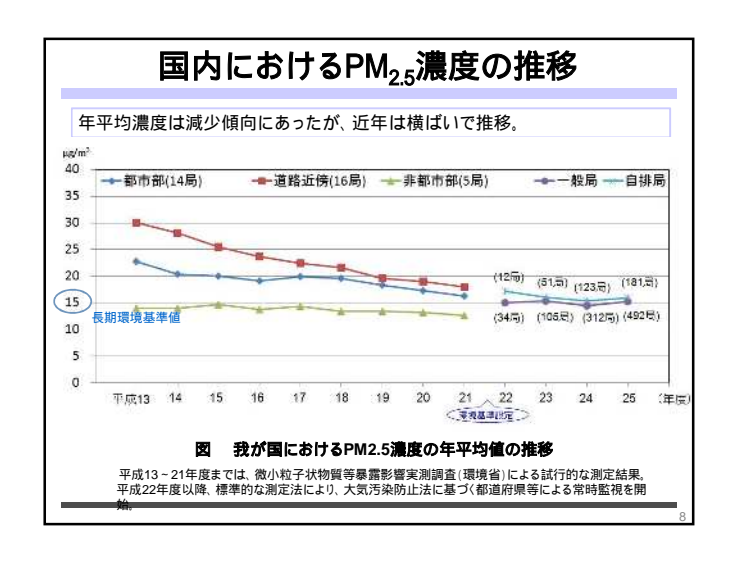


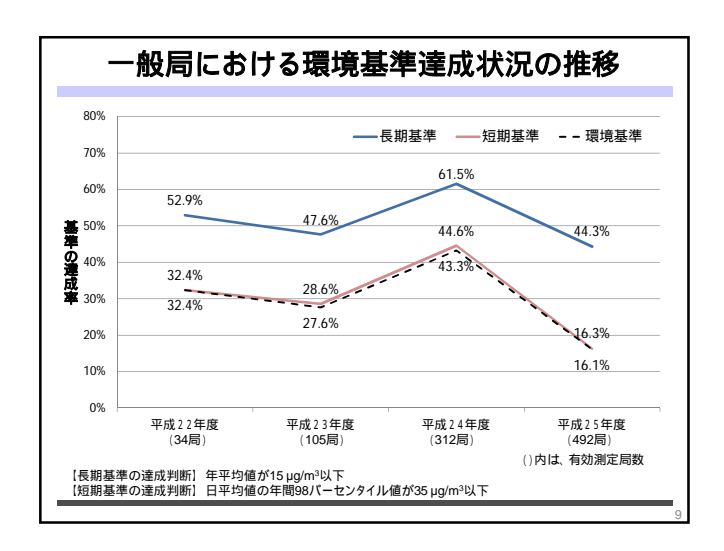


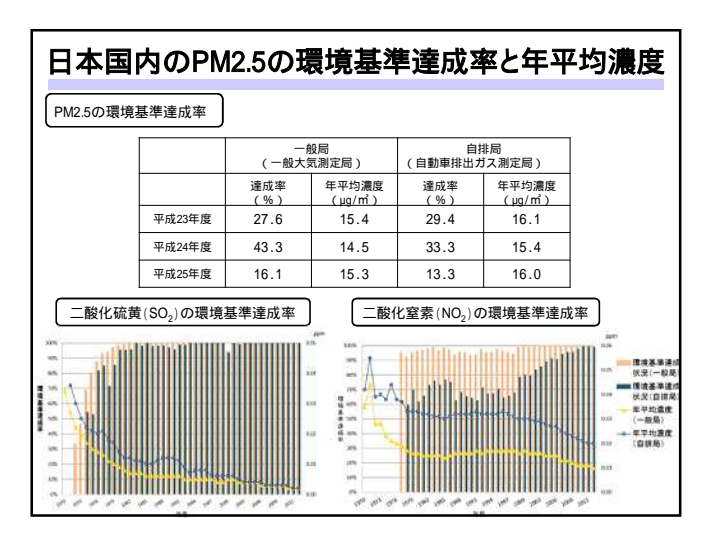
PM2.5の成分測定実施地点数の状況						
	H23年度末	H24年度末	H25年度末	H26年度末 【集計中】		
北海道・東北ブロック	1 (1)	4 (1)	13 (1)	18 (2)		
関東ブロック	17	22 (1)	33 (1)	47 (2)		
北陸・中部ブロック	11	15	38 (1)	38 (2)		
近畿ブロック	12 (1)	21 (1)	28 (1)	35 (1)		
中国・四国ブロック	9	13	19 (1)	22 (1)		
九州ブロック	8 (2)	12 (5)	21 (6)	34 (6)		
合計	58 (4)	87 (8)	152 (11)	194 (14)		

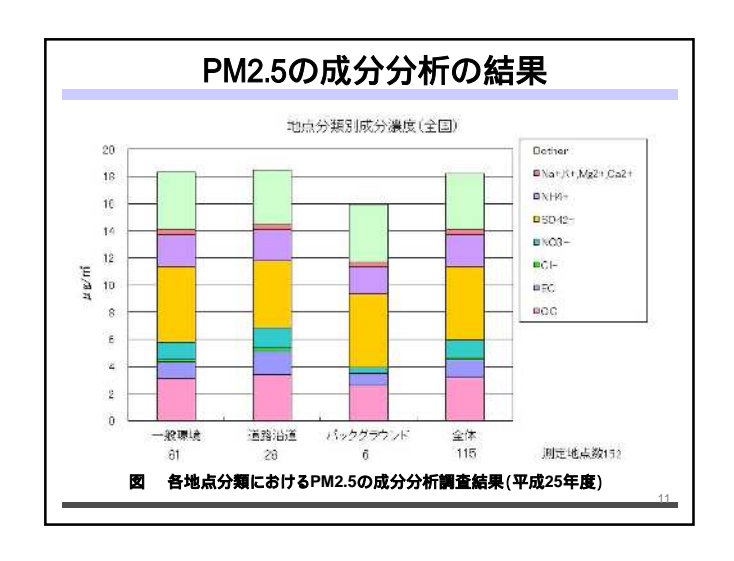
()は国が実施している地点数

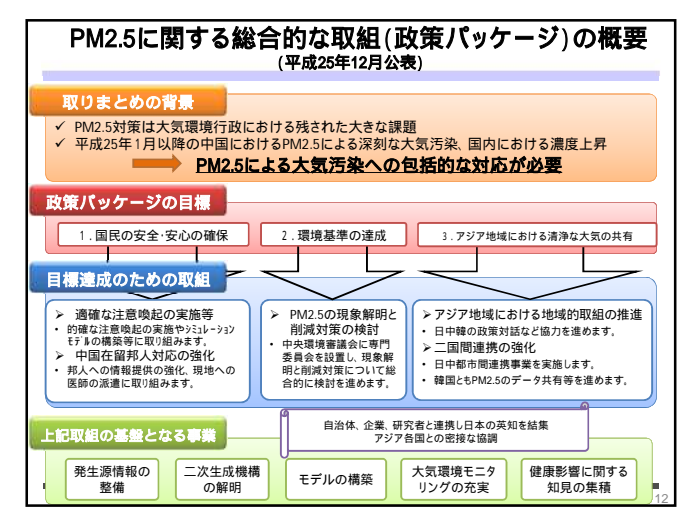
PM2.5の成分分析については、成分測定マニュアルに基づき、各自治体による実施に加えて、離島などのバックグラウンドを国が実施。

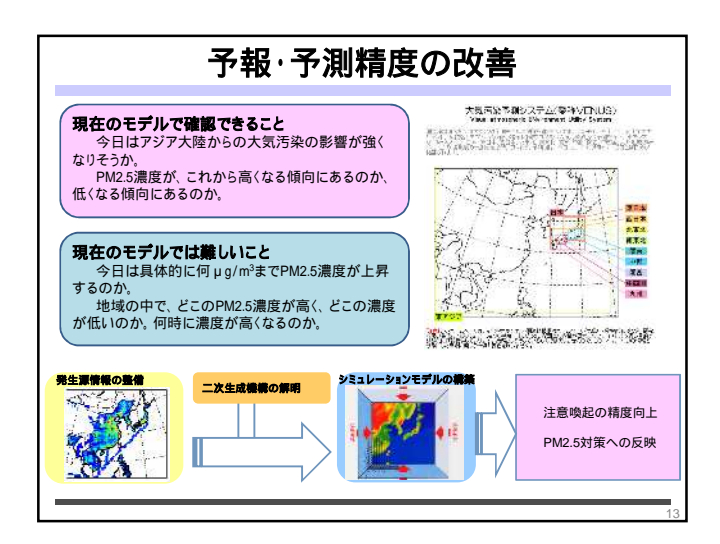








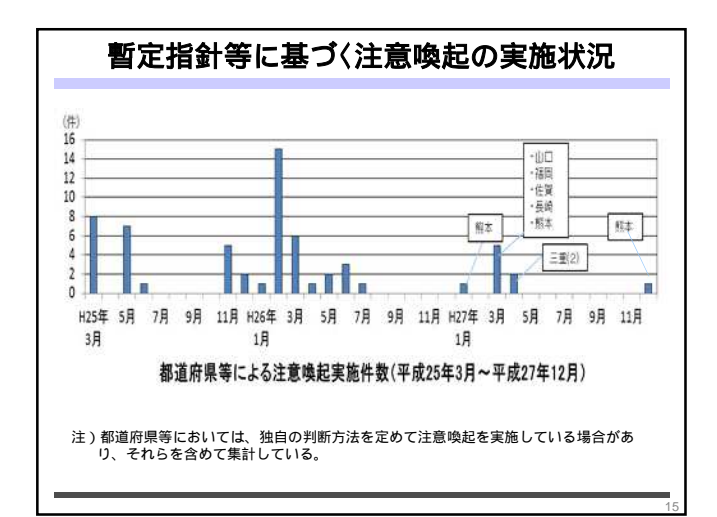


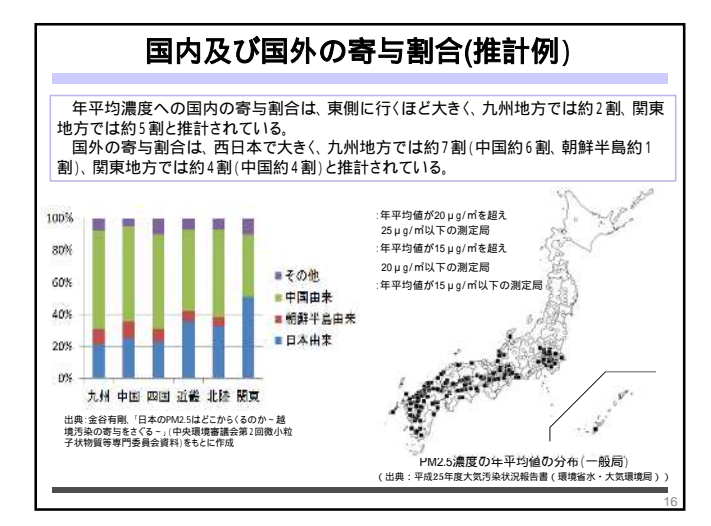


注意喚起のための暫定的な指針の策定と見直し

		注意喚起の判断に用いる値		
暫定的な指針となる値	行動のめやす	午前中の早めの 時間帯での判断	午後からの活動に 備えた判断	
D=15++ 1 3	1323-5-12 ()	5~7時	5~12時	
日平均値(µg/m³)		1時間値(µg/m³)	1時間値(µg/m³)	
7017	不要不急の外出や屋外での長時間の 激いい運動をできるだけ減らす。	85超	80超	
70超	(高感受性者においては、体調に応じて、 より慎重に行動することが望まれる。)	(区域内で2番目 に大きい数値)	(区域内の最高値)	

70ug/m以下の場合、特に行動を制約する必要はないが、高感受性者では健康への影響がみられる可能性が あるため、体調の変化に注意する





微小粒子状物質の国内における排出抑制策の在り方 中央環境審議会大気騒音振動部会 微小粒子状物質等専門委員会中間取りまとめ(平成27年3月)

越境汚染の影響は西日本などで大きいが、国内発生源も一定の寄与割合を占めており、 その影響が示唆されることから、国内における排出抑制対策を着実に進めることが必要。 PM2.5の生成機構や個々の発生源の寄与割合について科学的に解明すべき課題も残さ れていること等を踏まえ、短期的課題と中長期的課題を整理し、段階的に対策を検討して いくことが適当。

【短期的課題】

現時点の知見に基づき、既存の大気汚染防止施策をPM2.5対策の観点を加味して更 に推進する。 ・ばいじんや窒素酸化物(NOx)の排出規制の強化の検討

・燃料蒸発ガス対策の導入の検討 等 併せて、自動車排出ガス対策等を着実に実施する。

【中長期的課題】

総合的な対策に取り組む上での基礎となる現象解明、情報整備等に取り組み、その進 捗状況に応じて追加的な対策を検討する。 ・PM2.5や光化学オキシダントの生成能の高い揮発性有機化合物(VOC)の解明と対策の検討

発生源情報の整備 シミュレーションの高度化等による寄与割合の高い発生源の推定

微小粒子状物質の国内における排出抑制策の在り方について 今後の検討課題

科学的知見の充実

モニタリング体制の整備、排出インベントリの整備・更新、シミュレーションモデル の精緻化、二次生成粒子の生成機構の解明、凝縮性ダストの測定方法の開発・ 越境汚染の解明等に取り組む必要がある。 東アジア地域において、大気環境モニタリングデータや発生源情報等を集積・共

有していくことが重要である。

総合的・効果的な排出抑制策の検討

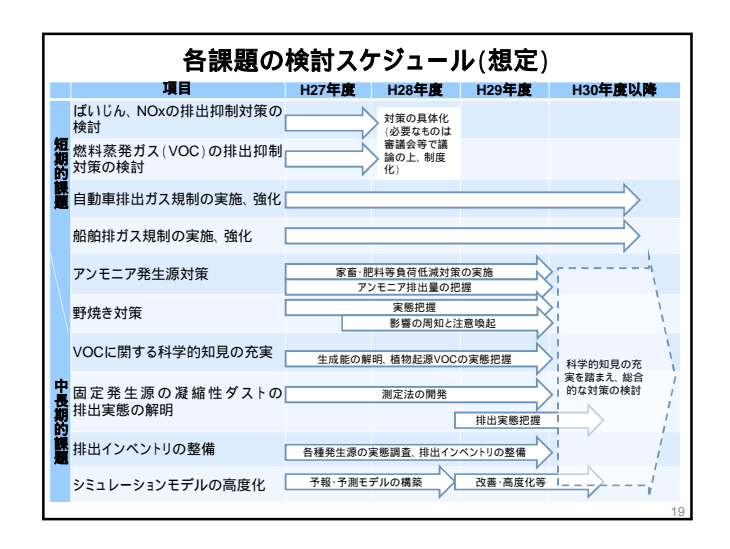
取り組むべき対策の効果や優先度、課題等を明らかにしつつ、発生源別寄与や 対策効果・コスト、実施可能性等に関する知見を踏まえ、総合的・効果的な対策を

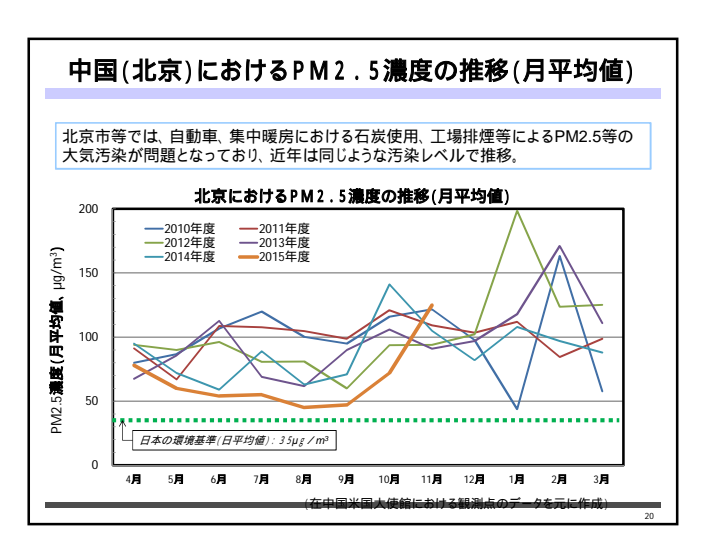
東アジア地域における大気汚染対策を推進するための技術協力に取り組む必 要がある。

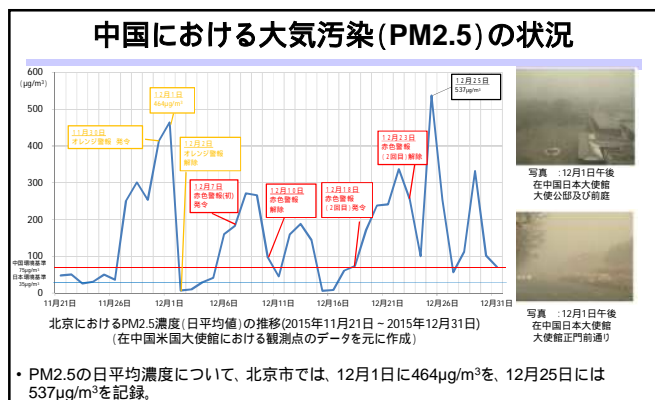
> 排出抑制対策の定量的な評価・検証

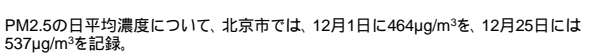
PM_sの原因物質の排出抑制対策については、排出インベントリの整備・更新を通じて、その実施状況をフォローしていくとともに、高度化したシミュレーションモデル等を用いてPM_sの削減効果をできる限り定量的に評価・検証していくこと が求められる。

3

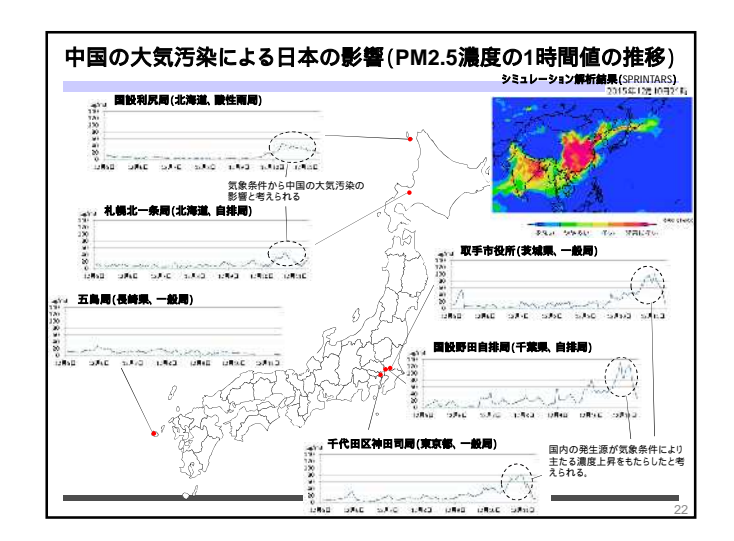








- 12月7日、北京市は初となる赤色警報を発令、また、12月18日に2回目の赤色警報を発令。
- 赤色警報の発令により、北京市環境保護局は<u>小中学校及び幼稚園の体校を呼び掛け</u>るとともに、強制措置として、全市内における自動車の(ナンバーブレート末尾の)偶数奇数走行 規制・偶数日には偶数の事が、考数日には音数の車の決定行できる)、一部丁場の操業停止等を実施



我が国における大気環境に関する国際協力の全体像 日中韓三ヵ国環境大臣会合(TEMM)に基づく日中韓による取り組み 大気汚染に関する三カ国政策対話の開催 2014年:月氏、大気汚染に関する政策対話の初会合を開催(於:中国)。 2015年:月の第1回会合(於:韓国)では、初会合での合意に高づき、各国が直面する大気汚染の具体的な課題(接発性有機化合 物やオフロー信制動脈がらの排入の対策等)につば、債務に機能を共有。 新たな共同行動計画に基づく日中韓協力の強化 15年4月のTEMM17において今後5年間の共同行動計画を採択、大気環境改善のための日中韓協力を強化することで合意 大気汚染分野では、(1)三カ国政策対話を通じた協力の実施、(2)政策対話の下に、 対策に関する科学的な研究。 大気のモニタリング技術及び予測手法、に関する2つのワーキンググループを設置、(3)大気環境改善のための優れた取組の共有 を実施 TEMMでの合意に基づいて、二国間における取組みを強化 ■週との協力 2014年4月のIEMM16における日韓環境大臣パイ会談の合意 に基づき、PM2.5のモニタリング、予測、インペントリ、データ共 有等の分野において協力を進めることに合意。 中国との協力 2014年4月のIEMM16(韓国・テグ)での合意を受け、地方自治体 や産業界の知見やノウハウを、中国の主要都市における能力構 築や人材育成等に活用する都市間連携協力事業を推進。 国際機関と連携した取組 クリーン・エア・アジア(CAA) と連携した取組 国**遠環境計画(U**NEP)と**連続した取組** 科学パネルによる科学的知見の充実・評価 各国政府、科学者、地域的取組関係者が参加する合同フォーラ ムの開催 清浄な都市大気環境のための指針の作成 指針を活用したアジア主要都市の能力構築 各国政府、都市が参加する都市大気環境会合の開催 PM2.5のモニタリングについての技術支援

第6回日中韓サミット

- 開催日時:2015年11月1日(日) 韓国・ソウル
- 出席者:安倍総理大臣,朴槿恵(パク・クネ)韓国大統領(議長),李克強 (リ・こくきょう)中国国務院総理





- 北東アジアの平和と協力のための共同宣言(仮訳)(関係部分抜粋)
- ➤ <u>第17回日中韓環境大臣会合(TEMM)</u>における、9つの優先分野の<u>「環境協</u> 力に係る日中韓3か国共同行動計画(2015~2019)」の採択を歓迎
- 力に係る日中韓3か国共同行動計画(2013 2013) 地域における大気汚染対策の重要性を認識しつつ、大気汚染に関する日 ではないでは、アンドランスの関係大気の質の改善に関するグット・プ 中韓3か国政策対話を通じて、3か国が大気の質の改善に関するグッド ラクティス及び努力を共有するよう奨励
- 地域における主要な環境課題として<u>黄砂(DSS)問題の重要性も認識し,黄</u> 砂分野における協調の強化を求めた

大気環境に関する三カ国政策対話

■ 背景

2013年のTEMM15で政策対話の設置に合意。2015年のTEM17の合意 に基づき、政策対話に2つのワーキンググループを新たに設置。

- 第1回政策対話(2014年3月中国) 国・地方レベルの取組、モニタリン グ・予報警報、自動車排出ガス対策等に関する情報共有を実施。
- 第2回政策対話(2015年3月 韓国) 大気汚染政策の現状や、揮発性 -有機化合物やオフロード自動車からの排ガス対策等について情報共有
- ・ 第3回政策対話を2016年2月末に日本で開催予定。
- また、TEMM17の合意を受けて2つのワーキンググループの初会合を 開催。WG1(2015年9月24日 中国)では、国の最新の取組や今後のW Gの活動計画について議論。また、WG2(2015年10月15日、16日 韓 国)では、大気環境のモニタリング、予測に関する取組について情報交換を行い、今後のWGの活動計画について議論された。

中国大気環境改善のための都市間連携協力 地方政府間の協力 中央政府間の協力 ・地方都市間の大気環境分野における協力につい て、国がブラットフォームを通じて支援。 両国政府が、両国 ・課題解決の基盤と のブラットフォームを 通じ、<u>モデル都市に</u> なる技術等につい 日本環境省が 中国側 プラットフォームを 通じて中国環境保 日本側 北京市、天津市 上海市、海陽市 武漢市、邯鄲市 唐山市、江蘇省 東京都、埼玉県 富山県、長野県 兵庫県、福岡県 護部へ直接協力 中国側モデル都市 超低濃度排出 発生源モニタリング 技術協力 川崎市、四日市市 河北省、広東省 遠寧省、山西省 四女中、厦门中 重慶市、珠海市 神戸市、北九州市 など て、技術支援機関((財)日本 環境衛生センター)を設置 都市間連携協力のプラットフォーム 日中都市間の連携を資金庫、技術面から支援 中国環境保護部

PM2.5に関する日韓協力

■ 背景

COP19(2013年)の大臣バイ会談で、PM2.5に関する日韓の情 報交流を促進することで合意。TEMM17の日韓バイ会談では、 PM2.5の測定、予測、インベントリ等について情報交換の進展を 確認、両国の協力を継続的に推進していくことで一致。

- 2014年8月以降、これまでに3回の会合を開催(約半年に1回)
- 直近の会合(2015年8月20日、21日 於: 韓国(ソウル)では、予測 モデルとインベントリーの分野における具体的な共同研究の進め 方について議論。

■ 今後の予定

次回会合(1月26日、27日於:日本)において、研究の進捗状況 について確認するとともに、今後の進め方について議論する予定

アジア太平洋クリーン・エア・パートナーシップ (Asia Pacific Clean Air Partnership)

■ 감동

環境省とUNEPが連携し、東アジア酸性雨モニタリングネットワーク(EANET) 等、大気汚染に関する既存の地域的取組が参加する合同フォーラムを設置。 政策の経験や科学的知見の共有を通じて大気汚染問題に取組む結束力を高 め、効果的な大気汚染対策の促進を図る。

■ アジア地域における大気汚染に関する合同フォーラム(初会合)

- 日 程:2015年11月26日(木)~27日(金) 於:タイ・バンコク
- 参加者:アジア太平洋地域約30ヵ国の政府関係者、大気汚染の改善に係る 地域的枠組みの関係者、大気環境に関する科学的知見を有する専門家、 NGO、資金援助機関など、約120名。
- (1)大気汚染に係る既存の地域的取組の活動状況や、最新の科学的知見に
- (2)大気汚染に関する地域評価報告書の骨子に関する議論 など

東アジア酸性雨モニタリングネットワーク

(Acid Deposition Monitoring Network in East Asia (EANET))



(設立経緯)

- 東アジア地域における近年のめざましい経済成長 等に起因して、酸性雨の原因となる大気汚染物質 の排出量が増加しており、その影響が深刻なもの となることが懸念。2001年1月から本格稼働。
- 各国のモニタリングデータ等の収集、評価、解析等 を担うネットワークセンターとして、(財)日本環境衛 生センター アジア大気汚染研究センターを指定。

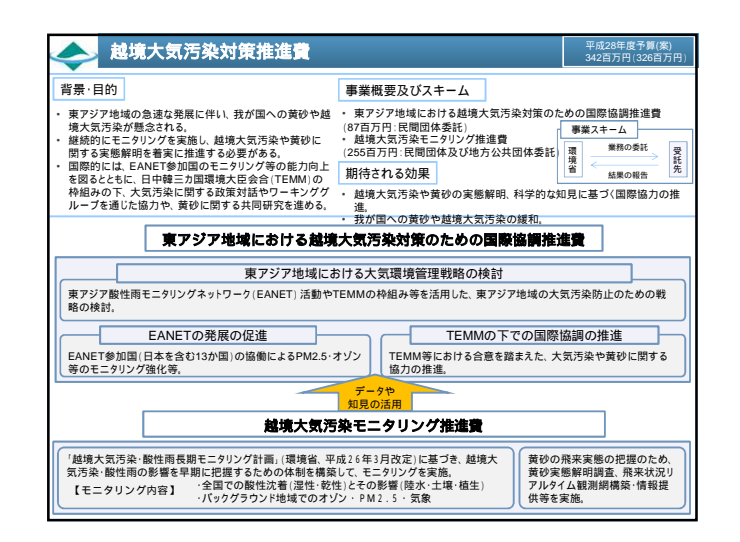
(目的)

- 東アジア地域における酸性雨問題に関する共通理解の形成促進
- 酸性雨防止対策に向けた政策決定に当たっての 基礎情報の提供
- 東アジア地域における酸性雨問題に関する国際協

(最近の動き)

- 2015年11月、第17回政府間会合にて次期中期計画(2016-2020年)を承認。
- 次期期計画には、PM2.5及びオゾンのモニタリングの推進、排出インベントリ及び研究活動に関する情報交換の促進等の新規活動が盛り込まれた。

微小粒子状物質(PM2.5)等総合対策費 背景・目的 ・平成27年3月、中央環境審議会徴小粒子状物質等専門委員会が取りまとめた「微小粒子状物質の国内における排出抑制策の在り方について、中間取りまとめ」に基づき、総合的な対策検討の基礎となる科学的知見の充実を図っていてとが必要。 イメージ 事業概要 PM2.5 -----(1) PM2.5等の機構解明のための解析の高度化 (501百万円) 発生源 モニタリング体制が不十分 · PM2.5及び前駆物質 (VOC) のモニタリングの充実 環境基準達成率16.1% PM2.5自動測定機の維持管理 光化学オキシダントの精度管理体制の構築、運用管理 人為起源 ·工場事業場 発生源データ の<mark>不足</mark> 2)発生源の把握・生成機構の解明 自動車 ・発生源インベントリの作成 ・発生源調査(野焼き)・二次生成機構の挙動解明 ・発生源寄与割合の把握 船舶 航空機 (3)シミュレーションモデルの高度化 家庭用設備 (33百万円) 野焼き など ・大気汚染予測システムの改良 オキシダント (4)対策の検討・実施 自然起源 · PM2.5の注意喚起指針の運用状況等調査 · 光化学オキシダント、PM2.5対策の検討・実施 前駆物質 年平均値は ほぼ機ばい 森林火災 事業スキーム かど 注意報発令 地域広域((春季の九州) 日本海側で 調査の請負発注、データ提供 環境省 国民に対する的確な情報提供、生成機構の解明等の科学的知見の充実、国内における排出抑制対策の着実





ご静聴ありがとうございました

平成27年度関東地方大気環境対策推進連絡会 浮遊粒子状物質調査会議講演会

PM_{2.5}の健康影響に関する疫学研究

2016年3月17日



兵庫医科大学公衆衛生学 島 正之

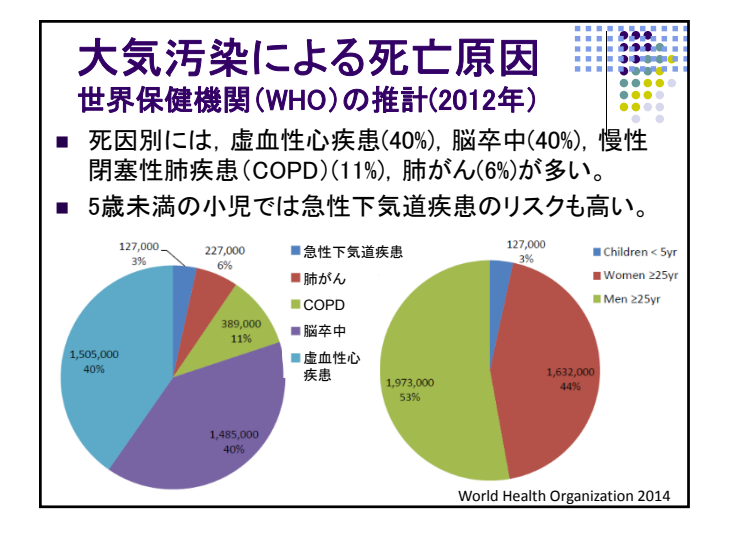
本日お話しする主な内容

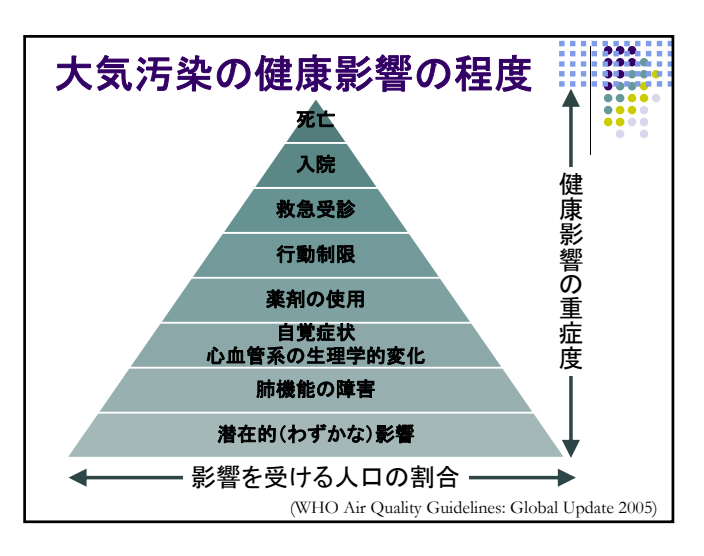


- 大気汚染の健康影響
- 欧米諸国における疫学研究
 - 短期曝露による影響
 - 長期曝露による影響
- 日本国内における疫学研究
 - 環境省による曝露影響調査
 - 最近の疫学的知見

ロンドンスモッグ事件 (1952年12月) 石炭暖房による高濃度 二酸化硫黄の発生 2.0 E 死亡数 600 • 2週間で約4,000名の 過剰死亡(その後の影 400 響を含め8,000名) 二酸化硫黄濃度 特に、気管支炎による 総粉じん濃度 死亡の増加、心疾患の ある人への影響が大







大気汚染の健康影響の種類 日死亡 呼吸器系・心血管系疾患による入院、救急受診、外来受診 呼吸器系・心血管系の医薬品の使用 活動制限が必要な日数 仕事の欠勤、学校の欠席 急性症状(喘鳴、咳嗽、喀痰、呼吸器感染症) 生理機能の変化(肺機能など) 長期曝露による影響 心血管系・呼吸器系疾患による死亡 慢性呼吸器疾患の罹患および有病(喘息、慢性閉塞性肺疾患、 慢性の病的変化) 慢性的な生理機能の変化 肺癌 慢性の心血管系疾患 子宮内発育の制限(低出生体重児、子宮内発育遅延)

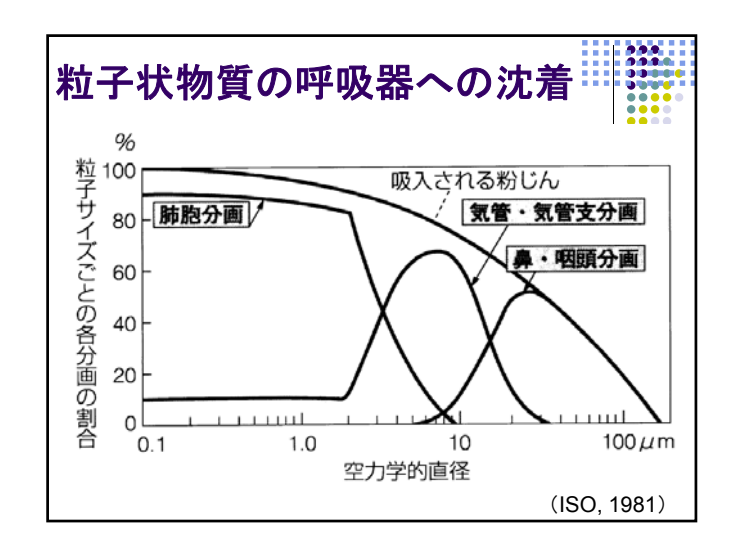
(WHO Air Quality Guidelines: Global Update 2005)

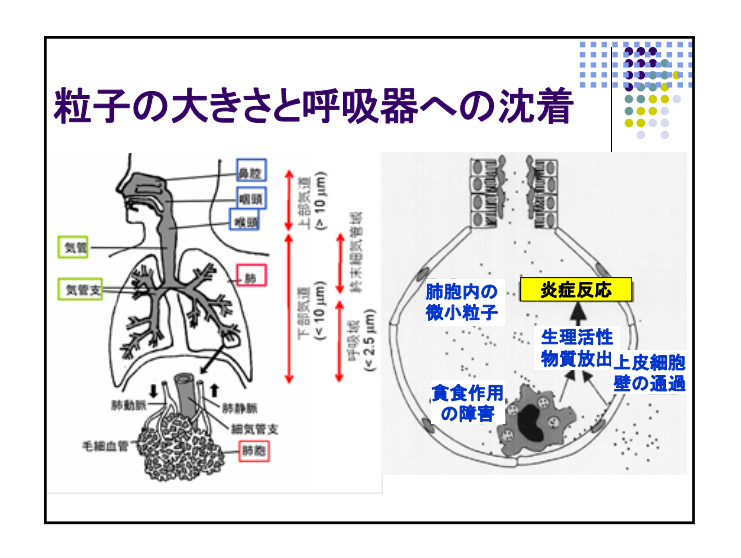
粒子状物質の定義

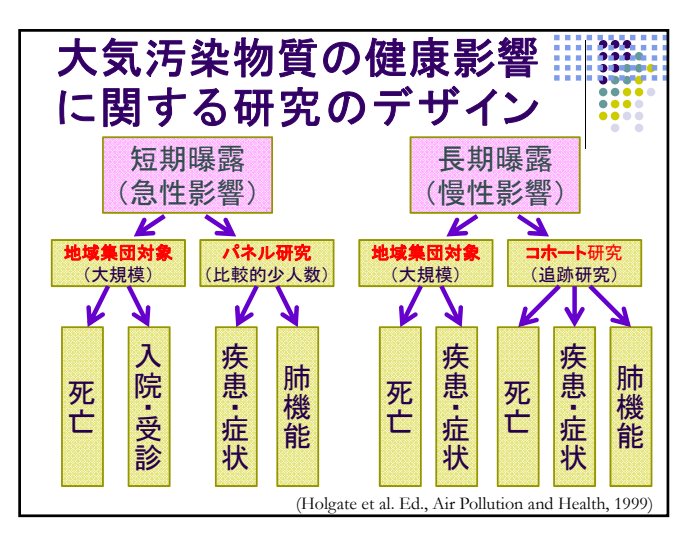


- 大気中に比較的長く浮遊し、呼吸器系に吸入 される粒径10μm以下の粒子
- 微小粒子状物質(PM25)
 - 粒子状物質の中でも粒径2.5μm以下の微小なもの
 - 呼吸器系の深部まで到達しやすく、粒子表面に様々な有害成分が吸収・吸着されていること等から健康影響が懸念されている。

微小粒子(PM_{2.5})の健康影響 • 米国東部6都市の住民 約8,000人を14~16年 にわたって追跡調査 1.3 年齢、性、喫煙、職業等 1.2 を調整した死亡率は、 大気汚染レベルの高い 都市ほど高く、各都市 のPM_{2.5}濃度との間に 10 15 20 PM_{2.5}濃度(µg/m³) 強い関連が認められた。 (Dockery DW, et al. N Engl J Med, 329: 1753-9, 1993)







PM_{2.5}短期曝露と死亡の関連

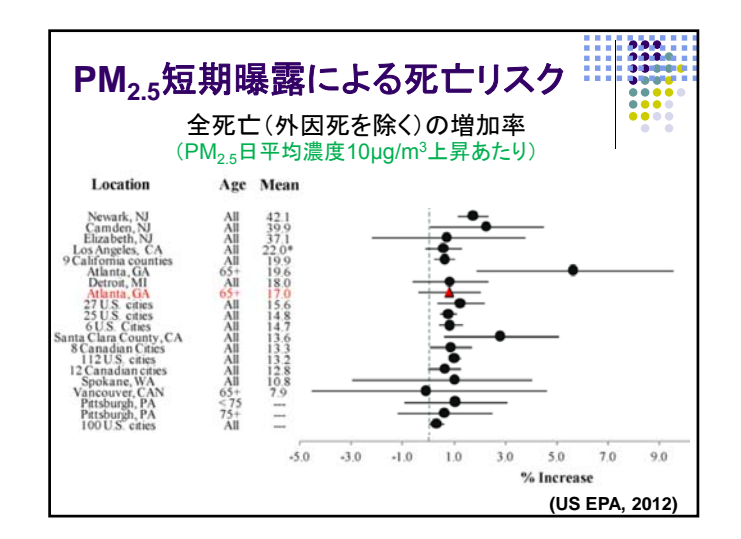
- PM_{2.5}濃度が上昇すると、当日または数日 以内に死亡する人が増加するという関連が 報告されている。
 - PM_{2.5}日平均濃度10µg/m³上昇あたりの増加

全死亡(外因死を除く) 0.3~1.2%心血管系疾患による死亡 1.2~2.7%

呼吸器系疾患による死亡0.8~2.7%

 こうした関連性は、PM_{2.5}の日平均濃度が 12.8µg/m³以上の場合に観察されている。

(U.S. EPA. 2012)



呼吸器疾患による入院・救急受診

- PM_{2.5}への短期的な曝露により、呼吸器疾患による救急受診や入院が増加することが報告されている。
 - 慢性閉塞性肺疾患(COPD)や呼吸器感染症による受診や入院は、PM_{2.5}の日平均値が6.1~
 22.0µg/m³程度で観察されている。
 - 喘息による受診や入院との関連も多くの研究で 認められているが、小児については必ずしも一 致した結論は得られていない。

(U.S. EPA. 2012)

- ピークフロー値(最大呼気流量)等の肺機能 の日単位の変化との関連が検討されている。
- 喘息患者を対象とした研究
 - ピークフロー値はPM_{2.5}濃度が増加すると有意に 低下するとしたものが多い。
 - 1秒量についても同様の関連が認められている。
- 喘息患者以外(健常者)を対象とした研究
 - 報告数は少なく、明らかな関連性を認めていない ものが多い。
- ▶ ピークフロー値(PEF):できるだけ早く息を吐き出す速度(最大呼気流量)
- ▶ 1秒量(FEV₁):努力呼出の開始から1秒間に呼出した空気の量

(U.S. EPA. 2012)

呼吸器症状の変化

- 喘息または慢性閉塞性肺疾患(COPD) 患者を対象として、咳、痰、呼吸困難、喘鳴、気管支拡張剤の使用などの日単位 の変化との関連性が検討されている。
- ピークフローでみられたような有意な関連性は認めていない報告が多いが、影響を示唆したものもある。

(U.S. EPA. 2012)

循環器疾患による入院・救急受診

- PM_{2.5}への曝露と循環器疾患(主に虚血性心疾患、うっ血性心不全)による救急受診や入院の増加との関連が多数報告されている。
 - 日平均値が7.0~18.0µg/m3程度で認められる。
- PM_{2.5}への短期的な曝露と脳卒中の発症との 関連も示されている。
 - 脳梗塞発症リスクは日平均値が15μg/m³以上では15μg/m³未満の日よりも34%増加する。

(U.S. EPA. 2012)



循環器系の所見との関連

- 99.0 99.0 99.0 99.0 99.0
- PM_{2.5}への曝露濃度の上昇により、以下の所見 が報告されている。
 - 心拍数の増加
 - 心拍変動の低下
 - 安静時血圧の上昇
 - 不整脈の発生
 - 血液生化学指標の変化
- 冠動脈疾患等の動脈硬化性の循環器疾患を 有する患者で認められたものが多い。

長期曝露の死亡への影響

- 米国がん協会(ACS)研究
 - 米国50都市、約50万人を1982~1998年追跡
 - PM₂ 濃度10μg/m³上昇に伴う死亡リスク

Table 2. Adjusted Mortality Relative Risk (RR) Associated With a $10-\mu g/m^3$ Change in Fine Particles Measuring Less Than $2.5~\mu m$ in Diameter

			Adjusted RR (95% CI)®	
死	因	1979-1983	1999-2000	Average
全	死 因	1.04 (1.01-1.08)	1.06 (1.02-1.10)	1.06 (1.02-1.11)
心朋	b疾患	1.06 (1.02-1.10)	1.08 (1.02-1.14)	1.09 (1.03-1.16)
肺	がん	1.08 (1.01-1.16)	1.13 (1.04-1.22)	1.14 (1.04-1.23)
そ	の他	1.01 (0.97-1.05)	1.01 (0.97-1.06)	1.01 (0.95-1.06)
			THE R. P. LEWIS CO., LANSING, MICH. 49, 100 PM. AND ADDRESS OF THE PARTY OF THE PAR	

*Estimated and adjusted based on the baseline random-effects Cox proportional hazards model, controlling for age, sex, race, smoking, education, marital status, body mass, alcohol consumption, occupational exposure, and diet. Cl indicates confidence interval.

(Pope III, et al. JAMA 287: 1132-41, 2002)

長期曝露の死亡・疾患発症への影響

- 米国の閉経後女性を対象としたコホート研究
 - 米国36地区、約66,000人を追跡
 - PM_{2.5}濃度10µg/m³上昇に伴うリスク
 - 死亡

循環器疾患冠動脈疾患1.83 (1.11-3.00)2.21 (1.17-4.16)

• 発症

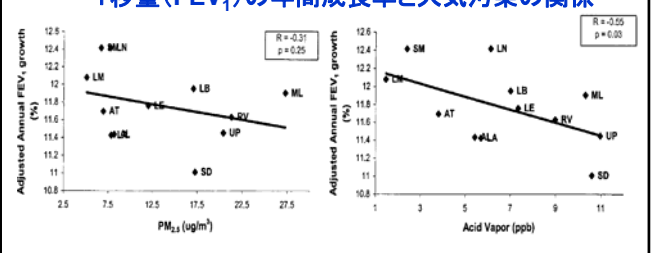
全循環器疾患
 記動脈疾患
 心筋梗塞
 脳血管疾患
 脳卒中
 1.24 (1.09-1.41)
 1.21 (1.04-1.42)
 1.06 (0.85-1.34)
 1.35 (1.08-1.68)
 1.28 (1.02-1.61)

(Miller, et al. N Engl J Med 356: 447-58, 2007)

南カリフォルニアの小児追跡研究

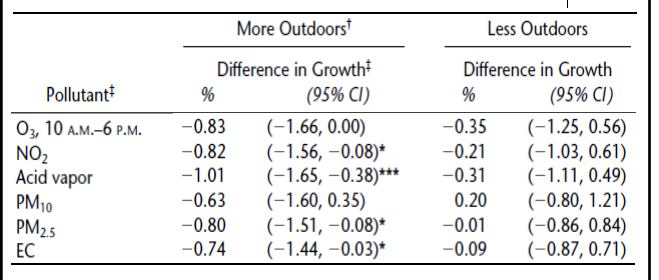
南カリフォルニア12地域の小児(約1700名)を対象に、 10~18歳まで肺機能を毎年測定し、PM_{2.5}等の大気 汚染との関係を評価した。

1秒量(FEV₁)の年間成長率と大気汚染の関係



(Gauderman, et al. Am J Respir Crit Care Med 166:76-84, 2002)

1秒量(FEV₁)の年間成長率 最高汚染地区と最低汚染地区の差(%)



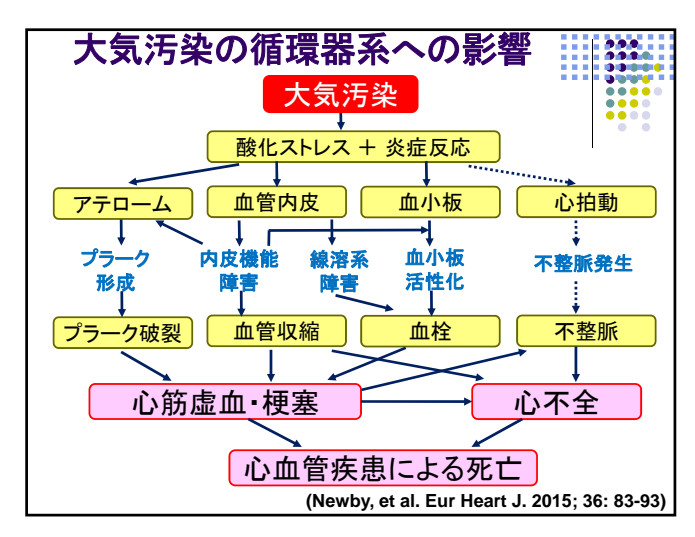
屋外で過ごす時間が長いほうが肺機能の成長に対する 大気汚染の影響が大きい。

(Gauderman, et al. Am J Respir Crit Care Med 166:76-84, 2002)

肺機能と喘息発症との関係(カリフォルニア小児研究での8年間追跡) High PM_{2.5} - Communities Low PM_{2.5} Communities + SD RV RV RV BM AT Low PM_{2.5} (LB R² = 0.42 P = 0.01 PM_{2.5} (μg/m³)

HR(ハザード比): 肺機能高値者の、低値者に対する喘息罹患の比 (Islam, et al. Thorax 62:957-63, 2007)







	Particulate matter, a major component of outdoor air pollution, was evaluated separately and was also
١.	lassified as carcinogenic to humans (Group 1).
F	The IARC evaluation showed an increasing risk of lung cancer with increasing levels of exposure to articulate matter and air pollution. Although the composition of air pollution and levels of exposure car any dramatically between locations, the conclusions of the Working Group apply to all regions of the world.

国際が	べん研究機	銭関の発がん性分類	228 228 228 228 228 228 228 228 228 228
グループ	発がんリスク	主な物質	種類
1	発がん性がある	アスベスト、ダイオキシン、放射線、 喫煙、受動喫煙、アルコール、ラドン、 太陽光、 <mark>大気汚染、粒子状物質</mark>	118
2A	おそらく発がん 性がある	熱いマテ茶、鉛化合物、石油精製業、 理容師・美容師、シフト勤務	75
2B	発がん性がある かもしれない	コーヒー、漬物、わらび、携帯電話の 電磁波、超低周波磁界、ガソリン	288
3	発がん性がある と分類できない	カフェイン、お茶、髪の染料、水銀	503
4	おそらく発がん 性はない	カプロラクタム(ナイロンの原料)	1
		(IARC. Last update: 26 October 2	(015)

微小粒子状物質曝露影響調査



- 短期曝露の影響
 - 日死亡との関連
 - 呼吸器系への影響
 - 喘息による夜間急病診療所の受診
 - 気管支喘息児(入院児)のピークフロー値
 - 気管支喘息児(通院児)のピークフロー値
 - 小学生のピークフロー値及び1秒量
 - 循環器系への影響
 - 埋め込み型除細動器による治療の発生
- 長期曝露の呼吸器系への影響

環境省の健康影響調査結果の概要 調査項目 微小粒子状物質曝露影響調査 短期的影響 PM25濃度の上昇により死亡リスクがわずかに増加 死亡 総死亡 呼吸器系 3日前のPM。濃度の上昇により有意に増加 当日~5日前のPM25濃度との関連なし 循環器系 喘息による 喘息による急病診療所受診とPM_{2.5}濃度との関連なし 受診 (オゾン濃度とは関連あり) PM_{2.5}濃度の上昇により喘息児、小学生のピークフロー 値が有意に低下 呼吸器系 循環器系 SPM濃度と心室性不整脈との関連なし 保護者の持続性の咳・痰はPM_{2.5}濃度が高い地域ほど 長期的影響 呼吸器系 Δ 高率だが、小児の呼吸器症状とは関連なし 粒子状物質による長期曝露影響調査 大気汚染との関連なし 肺がん 喫煙等を調整した後でSPM濃度と正の関連あり

女性では二酸化硫黄、二酸化窒素濃度と有意な関連

SPM濃度と負の関連あり(血圧等のリスク因子未調整)

あり(SPM濃度との関連は有意ではない)

呼吸器系

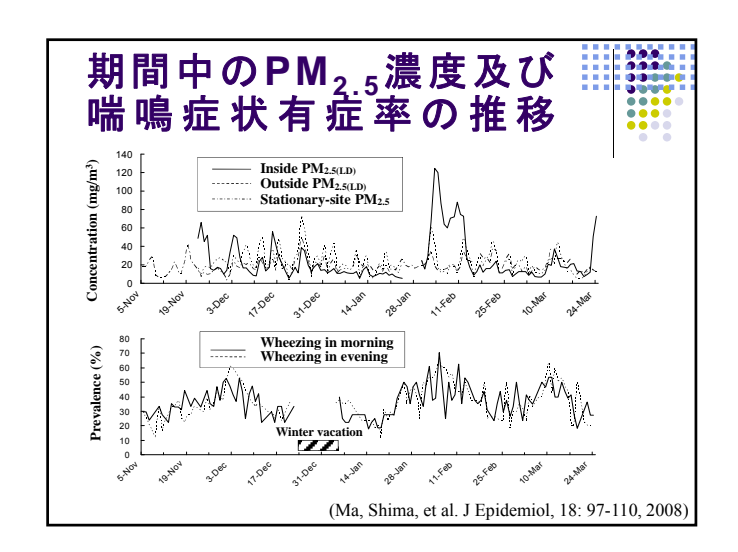
循環器系

微小粒子状物質(PM_{2.5})の 喘息に与える短期的影響



- 対象
 - 長期にわたって入院中の小児気管支喘息患者 19名(8~15歳)
- 方法
 - 毎日、朝(午前6時)と夜(午後7時)に肺機能を 測定し、看護師により喘鳴の有無を確認した。
 - PM_{2.5}濃度は、病院内(病室)、病院外(玄関)、 病院に近接する一般環境大気測定局で測定
 - ピークフロー値(PEF)及び喘鳴症状とPM_{2.5}濃度との関連を解析した。

(Ma, Shima, et al. J Epidemiol, 18: 97-110, 2008)



PM_{2.5}濃度とPEF変化との関連

PM_{2.5} 10 μg/m³増加あたりの変化量(L/min)

	Change [*]	95	% CI	p値	
	PEF ii	n mornin	g		
院内 PM _{2.5}	-2.86	-4.12	-1.61	<0.001	
院外 PM _{2.5}	-1.34	-2.99	0.32	0.113	
測定局 PM _{2.5}	-0.35	-1.89	1.20	0.662	
PEF in evening					
院内 PM _{2.5}	-3.59	-4.99	-2.20	<0.001	
院外 PM _{2.5}	-3.40	-6.47	-0.33	0.030	
測定局 PM _{2.5}	-1.38	-3.84	1.08	0.271	

^{*} 性、年齢、身長、期間中の成長、気温、相対湿度の影響を調整

(Ma L, Shima, et al. J Epidemiol, 18: 97-110, 2008)

PM_{2.5}濃度と喘鳴との関連

24時間平均濃度の4分位別オッズ比

						•
		朝			夜	
	オッズ比*	95%信	頼区間	オッズ比*	95%信息	頓区間
院内PM _{2.5} (2	4時間平均)(μ g/m	³)			
<11.0	1.00			1.00		
11.0-15.3	1.05	0.99	1.12	1.10	1.04	1.16
15.4-27.9	1.09	1.03	1.15	1.14	1.05	1.23
≥28.0	1.08	1.02	1.14	1.22	1.10	1.35
測定局PM2.5	(24時間平:	均)(μg/	m³)			
<13.9	1.00			1.00		
13.9-18.1	1.03	0.96	1.10	1.01	0.96	1.07
18.2-23.5	1.02	0.96	1.08	1.06	1.02	1.11
≥23.6	1.01	0.95	1.09	1.09	1.03	1.16

* 性、年齢、気温、相対湿度の影響を調整

(Ma L, Shima, et al. J Epidemiol, 18: 97-110, 2008)

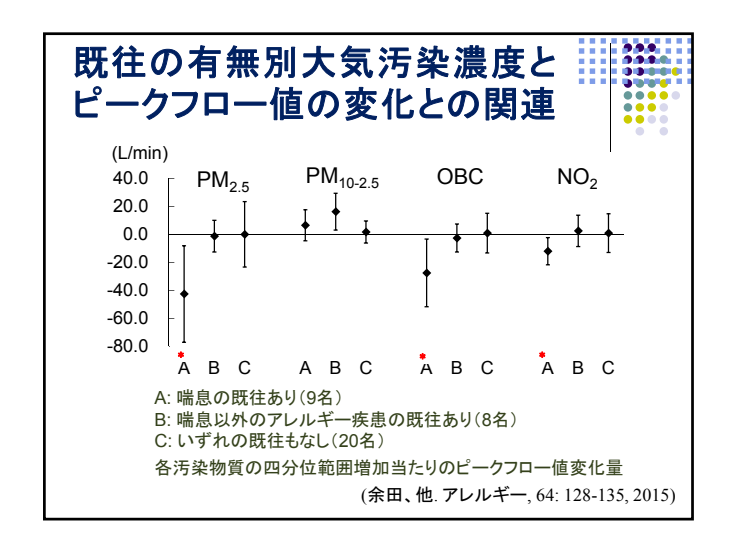
大気汚染物質が健常学生の 肺機能に与える短期的影響

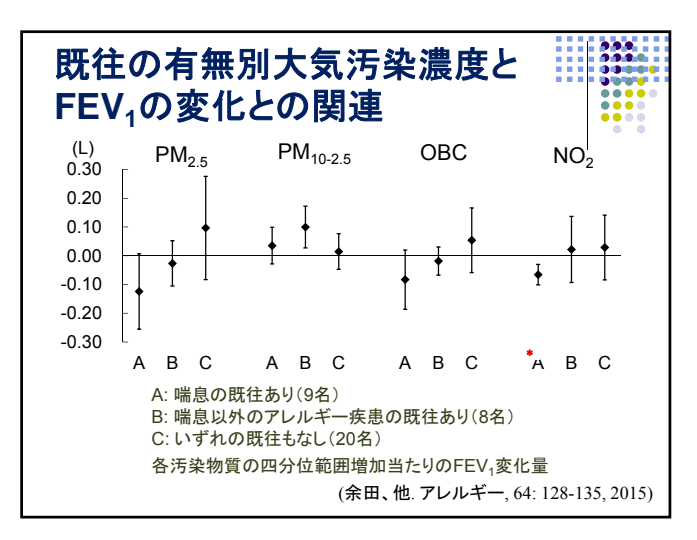


- 瀬戸内海ほぼ中央の離島にある高等専門学校の学生(15~17歳、37名)を対象に、2013年10~11月の約1ヶ月間、以下の検査を行なった。
- 電子式ピークフローメーターを用いて、最大呼気 流量(PEF)と1秒量(FEV₁)を毎日測定した。
- 大気汚染濃度は、学校の屋上にて、PM_{2.5}と粗大 粒子(PM_{10-2.5})、二酸化窒素(NO₂)を測定した。
- 調査開始時に、ATS-DLD標準質問票を用いて、 喘息、アレルギー疾患の既往の有無を評価した。

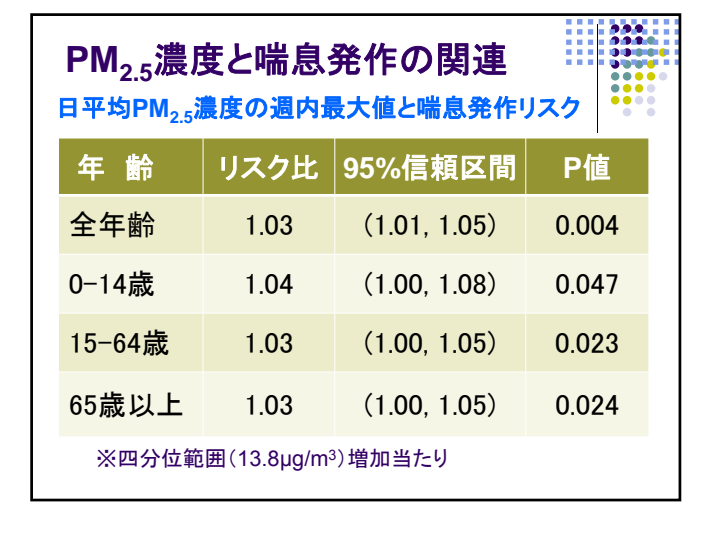
(余田、他. アレルギー, 64: 128-135, 2015)

期間中の粒子状物質濃度の推移 PM [µg/m³] 50.0 45.0 40.0 35.0 1.00 30.0 25.0 0.80 20.0 0.60 0.40 10.0 0.20 (余田、他. アレルギー, 64: 128-135, 2015)

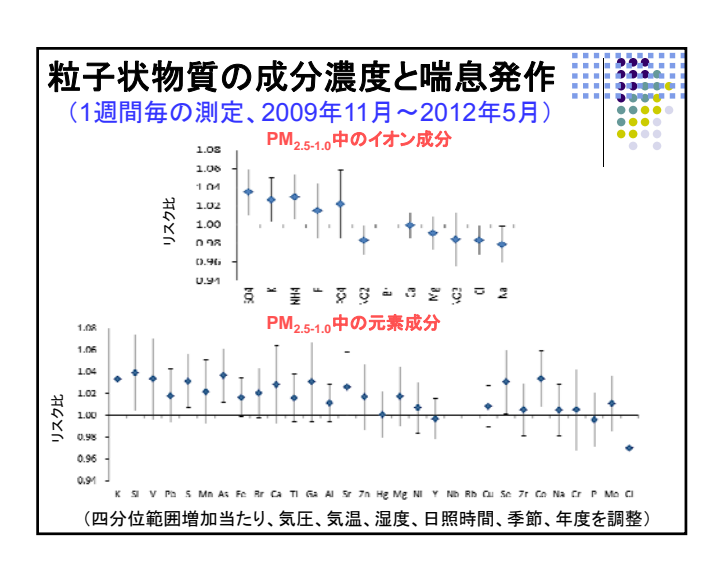


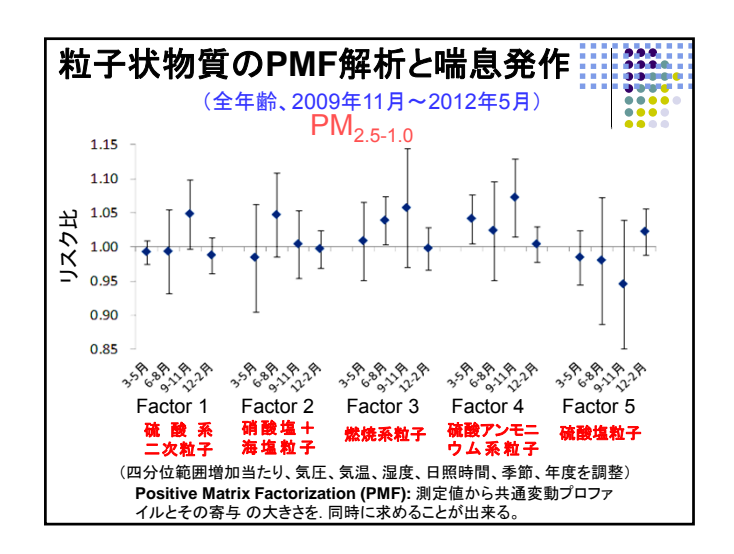


兵庫県姫路市における研究 ・ 姫路市医師会の協力により、以下のデータを収集し、大気汚染濃度との関連を解析 ① 市内46医療機関における 1週間毎の喘息発作数 ・性・年齢・居住地区別 ・ 1995年から継続して実施 ・ 年間約13,000件 ② 夜間急病センターの1日毎の喘息による受診患者 ・性・年齢・居住地区別 ・ 年間約 1,200件





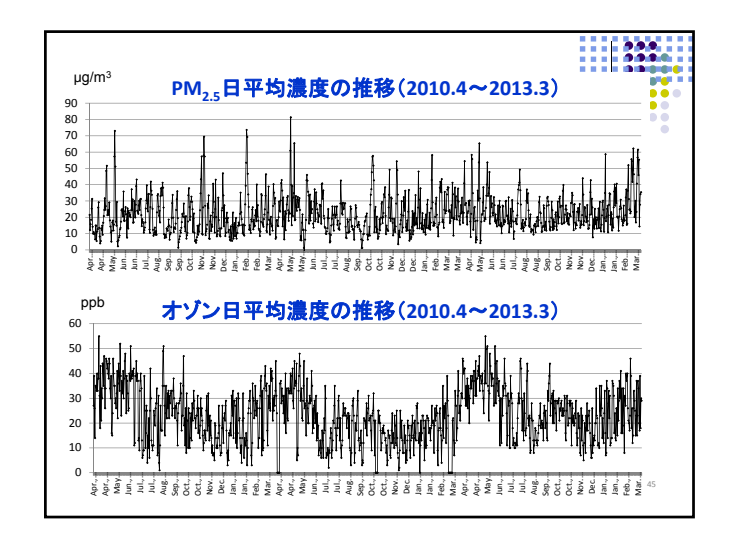


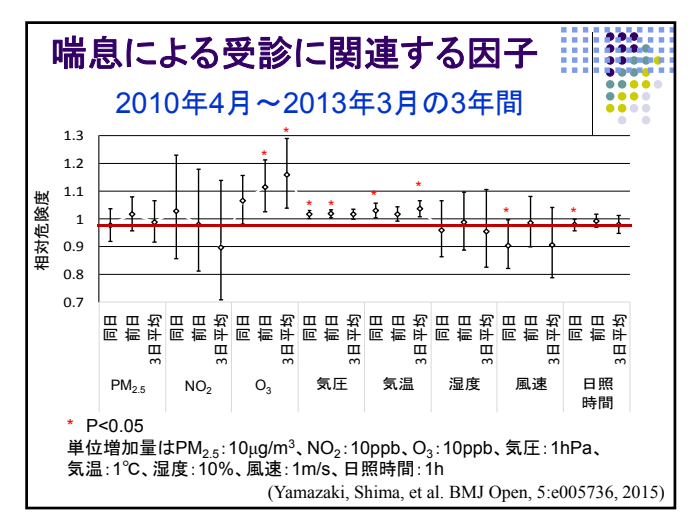


気管支喘息による受診との関連

- 対象: 姫路市の急病センターの受診患者
- 平日夜間(21時~翌日6時)に受診し、喘息と 診断された患者
- 受診前の大気汚染濃度との関連を ケース・クロスオーバーデザインに より解析
 - 解析対象: 粒子状物質(PM_{2.5})、二酸 化窒素(NO₂)、オゾン(O₃)の日平均値
 - 気圧、湿度、気温、風速、日照時間の 影響を考慮





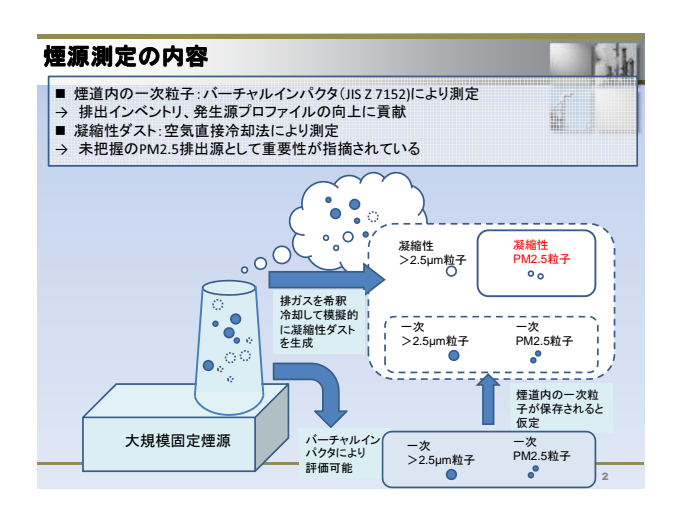


前日の大気汚染濃度との関連 (複数汚染物質モデルの解析結果) 2010年4月~2013年3月の3年間 4-6月 7-8月 9-11月 12-3月 汚染物質 (増加単位) RR 95%CI RR 95%CI RR 95%CI RR 95%CI PM_{2.5} (10μg/m³) 0.95 0.85-1.06 1.17 0.98-1.40 0.96 0.86-1.06 **1.16 1.01-1.33** 1.16 0.83-1.62 0.76 0.38-1.53 1.17 0.80-1.72 0.86 0.49-1.51 NO₂ (10ppb) O₃ (10ppb) **1.17 1.01-1.35 1.09 0.93-1.27 0.98 0.80-1.20 1.22 0.81-1.83** (Yamazaki, Shima, et al. BMJ Open, 5:e005736, 2015)

おわりに

- 疫学研究では、PM_{2.5}等による大気汚染と循環器・ 呼吸器系疾患等の関連が示されている。
- 短期的影響は、呼吸器・循環器系疾患のある人では比較的低い濃度で認められている。
- わが国における疫学研究でも、PM₂₅濃度の上昇により、喘息患者のピークフロー値の低下、喘息発作の増加などが示されている。
- 粒子成分については、夏季は燃焼系由来と考えられる粒子、春季と秋季は硫酸アンモニウム系粒子と喘息発作との関連が示唆された。
- 喘息による受診は、冬季はPM_{2.5}濃度、春季はオゾン濃度との関連が示された。





背景

- 現行のインベントリには下記の課題がある
- 1. PM2.5実測値がないため、大気汚染物質総合排出量調査 (マップ調査)のばいじん濃度にPM2.5/TSP比を乗じて推定 している
- 2. PM2.5/TSP比は業種ごとに文献値から算出した値を適用している
- 3. プロファイルに用いるPM2.5の成分組成実測値がないため、 米国の文献値(SPECIATE)を用いている
- これらの課題に対し実測値を反映させてインベントリ・プロファイルを向上させることを検討すべき

プロファイル整備の必要性

- ■レセプターモデルによる発生源推定
 - ■発生源の成分組成の情報(プロファイル)が必要
- CMB法
 - ■ひとつの観測データがあれば寄与割合の推定が可能
 - ■計算には発生源プロファイルの情報を入力する必要があ ス
- PMF法
 - 多数のデータを用いることで直接プロファイルを必要とせず に寄与割合の計算が可能
 - ■因子の解釈には発生源の特徴元素の情報が必要

固定発生源調査の例

- 溝畑ら(1980)
- ■鉄鋼工業、都市ゴミ焼却炉、石油燃焼炉
- 千葉県(1984)
 - ■重油燃焼炉、都市ゴミ焼却炉
- ■川崎市(1984)
 - ガラス溶融炉、セメント焼成炉、重油燃焼炉、都市ゴミ焼 却炉
- ■横浜市(1989)
 - ■重油燃焼炉

東京都(2008-2009)の測定対象施設



カスケードインパクタによるPM25サンプリング

アンダーセンサンプラ



カスケードインパクタをセットしたところ



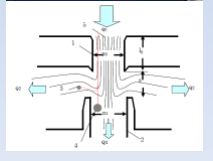
バーチャルインパクタによるPM₂₅サンプリング

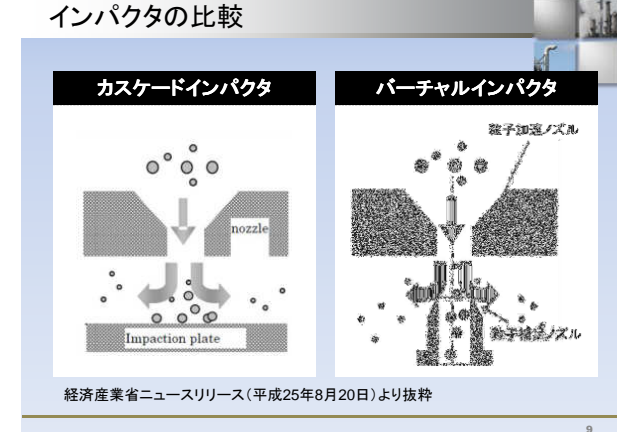
□ バーチャルインパクタによる排ガス中のPM10/PM2.5 質量濃度測定法(JIS Z 7152 平成23年8月20日発行)

□ 経緯

- ・平成21年9月にPM_{2.5}の環境基準が 規定される。
- ・固定発生源排ガス調査の必要性が あるものの、日本では発生源のPM_{2.5} 測定の公定法がない状況であった。
- ・固定発生源排ガス調査に適応する 方法のJIS化が急務となった。









□カスケードインパクタ

- □ 二段インパクターを用いて排ガス中のPM。とPM。を測定する方法
- □ 捕集粗粒子再飛散の懸念があり、低濃度条件に適用
- □ 高温、腐食性ガス条件では、再飛散防止用グリースの変質がある
- □バーチャルインパクタ
 - □ 二段バーチャルインパクタを用いて排ガス中のPM,nとPM, を測定する
 - □ 粗粒子の再飛散がない
 - □ 広範な粉じん濃度条件(高温、高水分量、反応性ガス含有)の測定に適
 - □ 構造が複雑であり、加工に技術を要するため高価である

※経済産業省ニュースリリース(平成25年8月20日)より抜粋

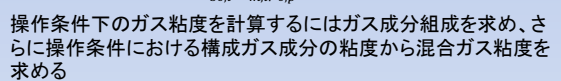
バーチャルインパクタの注意点

- □ 総ダスト質量濃度測定には適応できない。
- □ 吸引に屈曲管形吸引ノズルを使用する場合、屈曲管内で粒子 損失が起こる場合があるため、損失質量の測定が必要。
- □ 煙道外にバーチャルインパクタ本体が出る場合は、本体の精 密な温度制御が必要。

セッティング PM10分輪部からの吸引流量101/mi ガス吸引部 吸引流量測定部 バックアップフィルタ部からの吸引流量10.3L/ ガス吸引部 吸引流量測定部 バーチャルインバクタ PM2.5分粒部からの吸引量1.2L/min ガス吸引部 吸引流量測定部 排ガスの流れ □ 配管ごとに流量が決まっ ているので識別しておく とよい。 □ サポートリング付のフィ ルタを使うときは、PTFE ワッシャに貼りつくことが あるので注意のこと。

流量設定

総体積流量 $qvi = \frac{9\pi D_{0,i}Stk_{50,i}\eta N_i}{4d_{50,i}^2 C_{m,i}\rho_{0,p}}$



ガス粘度 $\eta(T) = \frac{\sum_{j} r_{j} \eta_{j}(T) \sqrt{M_{j} T_{crit,j}}}{\sum_{j} r_{j} \sqrt{M_{j} T_{crit,j}}}$ 温度の関数

カニンガム補正係数

$$C_{m,i} = 1 + \frac{2\lambda}{d_{50,i}} \left[1.23 + 0.41 exp\left(-0.88 \frac{d_{50,i}}{2\lambda} \right) \right]$$

温度やガス組成により変化するガス粘度と、ノズル径やストーク ス数の定数から総体積流量を計算する

煙道測定の様子





□ 落下防止のストッパー

2形による測定の様子



成分分析時の注意

2形測定用ヒータ

煙道測定の様子



結果の整理

□ PM₂₅、PM₁₀濃度の計算

 $\varphi(PM2.5) = \frac{m(BF)}{V_{N'}}$

φ(PM2.5): 標準状態におけるPM2 s濃度(mg/m_N3) m(BF): バックアップフィルタ上の粒子濃度(mg) V_M:標準状態の乾き試料ガス体積(m_M3)

 $\varphi(PM10) = \frac{m(BF) + m(CF2)}{V_{N'}}$

φ(PM10):標準状態におけるPM₁₀濃度(mg/m_N3) m(BF): バックアップフィルタ上の粒子濃度(mg) m(CF2):2段目分粒部捕集フィルタ上の粒子濃度(mg) V_N:標準状態の乾き試料ガス体積(m_N3)

(参考) 分析項目と分析方法

石英繊維ろ紙 バーチャルインパクタ:37mm 凝縮性ダスト: 100mm

■炭素成分

捕集フィルタをコンディショニングせず

8φにくりぬいてカーボンアナライザで定

PTFEろ紙 バーチャルインパクタ:37mm 凝縮性ダスト: 100mm

■秤量 捕集フィルタを110°Cで乾燥させた

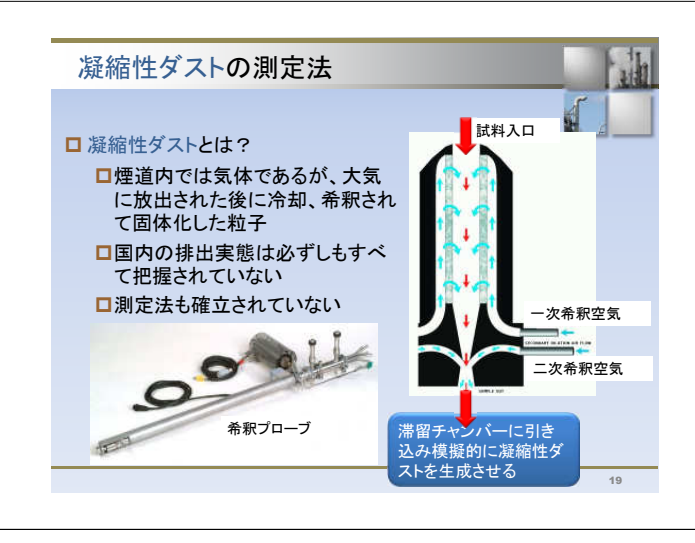
後、室温21℃、相対湿度35%で恒 量してから秤量

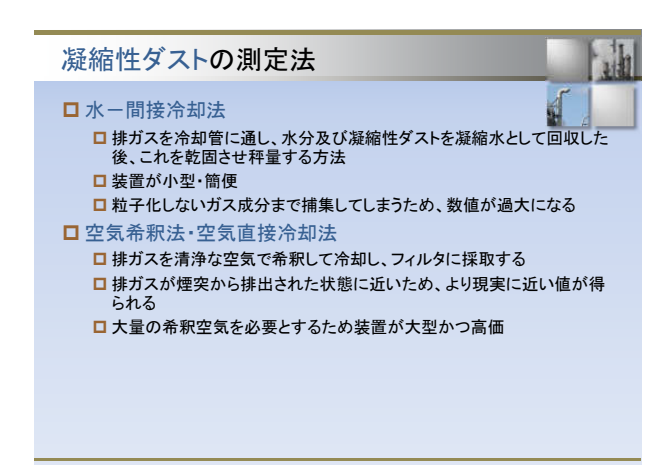
■イオン成分 秤量後のフィルタを 1/2にカットし、純水で ____ 1/2にカットし、酸分解

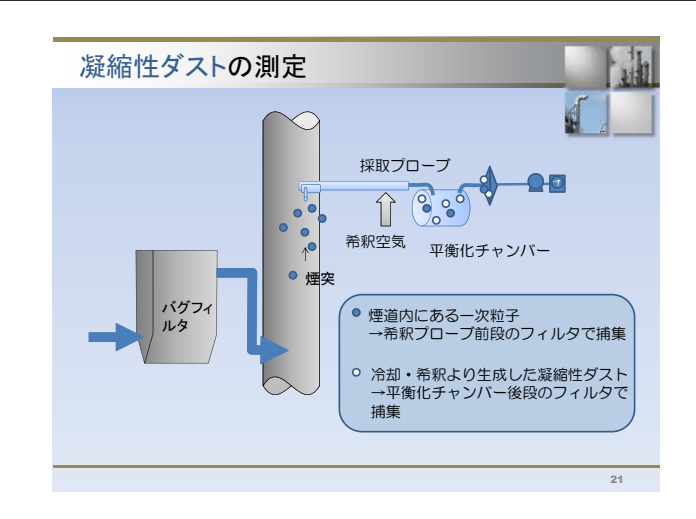
秤量後のフィルタを 抽出後イオンクロマト 【 後ICP-MSで定量

■PMcのフィルタは捕集ムラがあるので、フィ ルタの分割には注意が必要





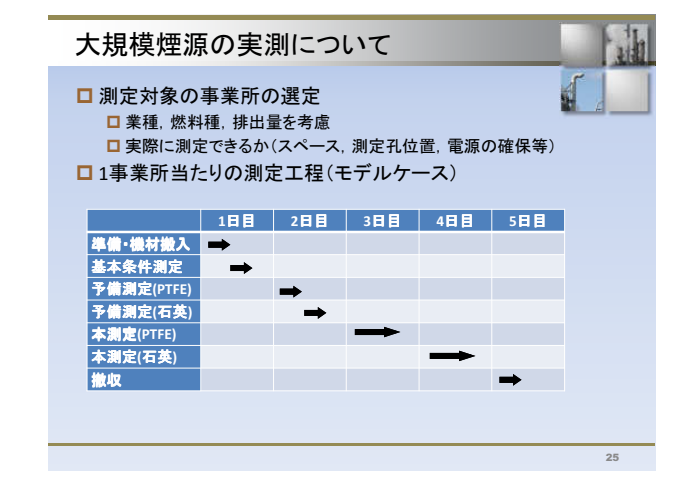


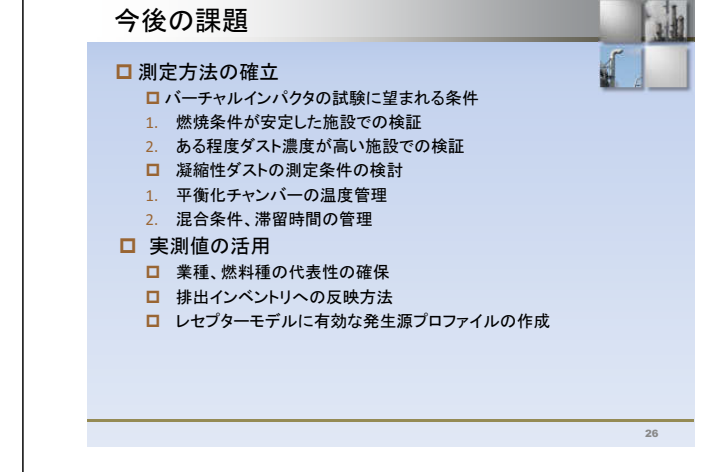












関東甲信静における PM2.5 のキャラクタリゼーション - 関東 SPM 合同調査 平成 26 年度のまとめ -

山梨県衛生環境研究所 大橋 泰浩 関東地方大気環境対策推進連絡会浮遊粒子状物質調査会議

1 はじめに

本浮遊粒子状物質調査会議は、昭和 56 年度、浮遊粒子状物質に対する取組として、1 都 3 県 2 市による「南関東浮遊粒子状物質合同調査」に始まり、以後参画自治体が増え、現在では 1 都 9 県 7 市 (計 17 自治体)にまで拡大した。また、調査対象は平成 20 年度から夏季の微小粒子状物質 (PM2.5)に注目して行うようになり、関東甲信静の広域的な PM2.5 濃度レベルの把握に加え、広域汚染のメカニズムについて検討してきた。

一方、環境省の事務処理基準改正により、PM2.5の成分分析は自動測定器による質量濃度 測定と同様に常時監視項目の一環に位置づけられたことから、分析は各自治体で行い、本 調査会議では解析を重点的に行うスタイルへと移行してきた。

そこで本報告では主に平成 26 年度の夏季に実施した成分分析結果を用いた解析及び年間を通した常時監視データを用いた高濃度事象の解析を行ったので、関東甲信静地域の PM2.5 汚染状況、地域的な特徴など、明らかになった知見について報告する。

2 調査方法

2.1 調査地点と期間

成分調査は関東甲信静地域の一般 環境大気測定局 26 地点で実施した(図 1)。調査期間は環境省推奨の試料捕集 期間の夏季(平成 26年7月23日(水) から8月6日(水))とし、コア期間 の7月28日(月)から8月4日(月) を含めて解析を行った。

2.2 試料の採取及び分析方法

PM2.5 については、PM2.5 サンプラーを用いて PTFE 製ろ紙及び石英繊維ろ紙上に採取した。分析項目及び方法は質量濃度、水溶性イオン、炭素、無機元素について「大気中微小粒子状物質(PM2.5)成分測定マニュアル」に従い行った。また9地点においては、フ

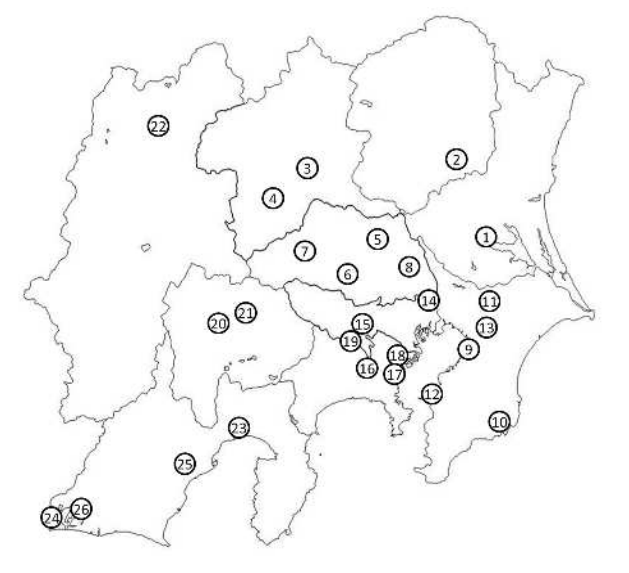


図1 調査地点

24湖西 25静岡 26浜松

土浦 真岡 前橋 富岡 鴻巣 日高 秩父 城南 勝浦 佐倉 市原 富津 千葉 綾瀬 多摩 大和 横浜 川崎 相模原 甲府 ②東山梨 ②長野 ③富士

ィルターパック法を用いたエアロゾル成分及びガス状成分中の水溶性イオン成分の調査を 同時に実施した。

3 調査期間中の気象概況

関東甲信、東海地方ともに梅雨明けは平年並みであり、7月21日頃であった。測定期間中は晴れの日が多かったが、8月に入ると雲の広がる日があった他、局地的に激しい雨も観測された。また、期間中の平均気温は平年より高く、日照時間は平年より長い地点が多かったことから、光化学スモッグ注意報を発令する自治体も散見された(7月23日から26日、31日、8月2日)。

4 調査結果

4.1 PM2.5 質量濃度

図 2 に夏季調査期間中(14 日間)の PM2.5(常監)の平均濃度を示した。特に、関東地方の内陸部で比較的高濃度となる傾向が見られた。また、濃度が低かったのは②長野、 ②湖西、劉浜松であった。

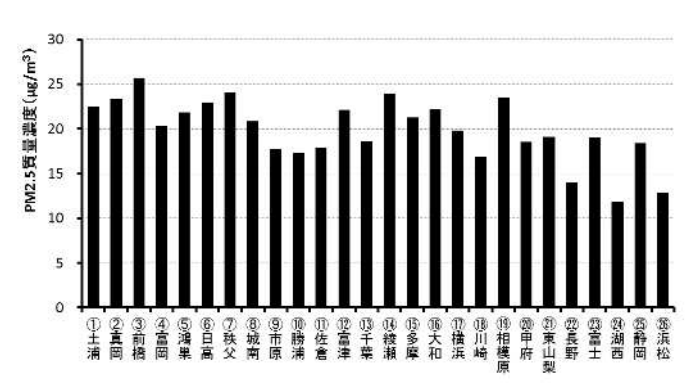


図2 PM2.5 濃度(調査期間平均)

4.2 水溶性イオン成分濃度

夏季調査期間中(14日間)の水溶性イオン成分の平均濃度(全地点)は、 $7.2\,\mu\text{g/m}^3$ であり、過去 5年間の調査で昨年度($9.9\,\mu\text{g/m}^3$)に次いで高い値となった。水溶性イオン成分濃度の分布をみると、東京都、埼玉県、神奈川県、静岡県(富士)でそれ以外の地域と比べ高い傾向であった。成分ごとに水溶性イオン成分中の組成割合を見ると、全地点で SO_4^2 が最も高く概ね65%以上であり、次いで NH_4 +が20%以上であった。また、 NO_3 -は0.92%(勝浦)から6.5%(城南)の範囲にあり、比較的低い割合であった。

4.3 炭素成分濃度

夏季調査期間中(14日間)の全調査地点における平均濃度は、有機炭素(OC)が $4.3 \mu g/m^3$ ($2.4 \sim 7.7 \mu g/m^3$) 元素状炭素(EC)が $1.1 \mu g/m^3$ ($0.45 \sim 2.1 \mu g/m^3$) 水溶性有機炭素(WSOC) は $3.2 \mu g/m^3$ ($2.5 \sim 3.7 \mu g/m^3$) であった。PM2.5 中の含有割合の平均は、OC が 28%(19 $\sim 38\%$) EC が 6.7%($3.6 \sim 11\%$) であり、OC 中の WSOC の割合は、平均 71%($39 \sim 95\%$) であった。濃度の地域的傾向としては、OC は 日高、 秩父、 千葉で高く、EC については 真岡(ただし、 $8/2 \sim 8/6$ は欠測) 千葉で高く、WSOC は 富岡で高い傾向が見られた。

4.4 無機元素成分濃度

無機元素成分濃度は、PM2.5の濃度変動自体に与える影響はそれほど大きくないが、地点間及び日ごとの変動が大きいことから、期間内の日変動に重点を置いて解析を行った。コア期間について、各成分の前日濃度との比を算出し解析を行ったところ、地域ごとに同じような変動が見られたが、突出した変動も多く見られ、PM2.5 濃度の変動と無機元素成分濃度が逆の動きをする事例も多く認められた。

また、PM2.5 が高濃度となった 7/23 から 7/26 にかけて PM2.5 濃度と各無機元素成分濃度の相関を調べた結果、多くの無機元素成分濃度との間に強い相関がみられ、特に Cu, Zn, Sb, Pb は、半数以上の地点で相関係数 0.9 以上の強い相関が認められた。このことから、この期間の濃度上昇は、ブレーキ粉じんや廃棄物焼却による影響を受けた可能性が示唆された。

4.5 発生源寄与の推定

本調査では、夏季期間の分析データ(基本 14 日間分。欠測期間は除外。)を平均し、夏季の 1 期間データとして解析を行った。推定方法は、これまでと同様に Chemical Mass Balance 法を用いたが、線形計画法に加え、有効分散最小二乗法(EPA-CMB8.2)での解析も行なった。図 3,4 に各地点の発生源寄与濃度推定結果を示した。

どちらの方法でも、二次粒子が例年同様に全地点で 50%以上の最大寄与率を示し、他の発生源の寄与率と比較しても卓越していた。CMB8.2 では、全地点平均で 2 番目に自動車排ガスの平均寄与率が高く、3 番目に石油燃焼と続くが、二次粒子の 5 分の 1 以下であった。線形計画法では、2 番目に植物燃焼の平均寄与率が高く、3 番目に自動車排ガスであり、CMB8.2 とは異なる結果となった。その他の発生源については、計算方法間及び地点間で多少差があるものの、寄与率はそれぞれ概ね数%と低く、大きな差は認められなかった。

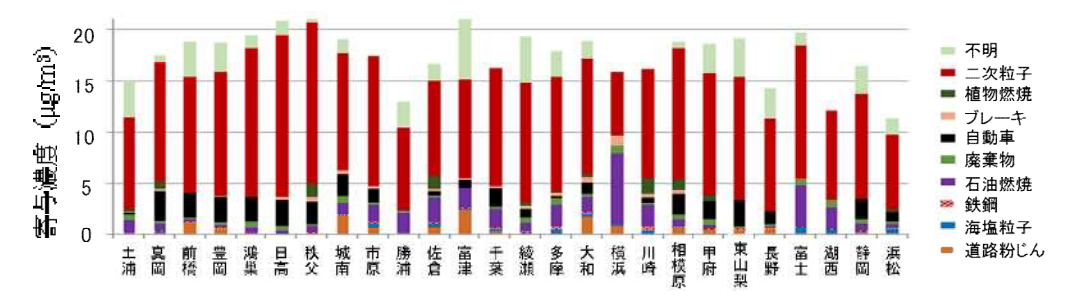


図3 H26 年度発生源寄与濃度推定結果(EPA-CMB8.2)

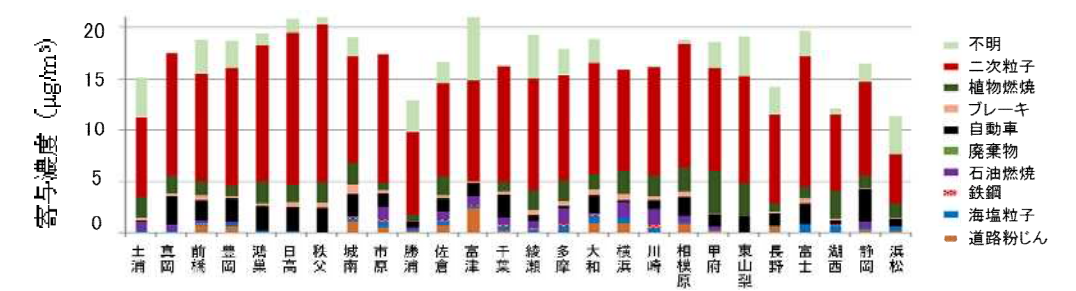


図 4 H26 年度発生源寄与濃度推定結果 (線形計画法)

4.6 ガス状成分、エアロゾル成分(フィルターパック法)

本調査には1都7県1市の計9自治体が参加した。内陸部(土浦、前橋、鴻巣、甲府、②長野)と沿岸部(市原、綾瀬、川崎、③富士)に分けて解析を行った結果、SO2濃度は沿岸部で高く、SO42-濃度はそれほど大きな差が見られなかった。沿岸部と内陸部におけるSO42-濃度の日間変動は同様の傾向が見られ、内陸部ではPM2.5濃度の増減とよく一致していた。また、内陸部で粒子化率の増加が見られたが、この傾向は例年と同様であった。HNO3濃度は内陸部で高く、NO3-濃度は沿岸部及び前橋で高かった。また内陸部では、HNO3濃度とNO3-濃度のどちらもPM2.5濃度の変動と挙動が類似していた。一方、HCI濃度は内陸部の鴻巣で最も高くなったが、その他の地点は沿岸部、内陸部共に顕著な差は見られなかった。CI-濃度は沿岸部で高かった。沿岸部でCI-濃度が高かった要因の一つとしては、海塩中にCI-が多く含まれるため、その影響が大きいことが考えられる。

5 年間を通じた PM2.5 高濃度の出現状況

平成25年2月に注意喚起の暫定指針値が示されたことから、夏季のみならず年間を通した高濃度事例の調査が重要となっている。このような中、本調査では、昨年度と同様に、平成26年度の1年間の常時監視測定データから高濃度日出現状況を調査した。また、新たな試みとして、広域的に発生したPM2.5高濃度事象については、常時監視項目データ(1時間値)を用いた時間分解能を高めた解析を実施するとともに、成分分析期間中に発生した高濃度事例については、成分分析結果を用いた解析も実施した。

5.1 常時監視データによる PM2.5 高濃度日出現状況の把握

使用データは平成 26 年 4 月 1 日~27 年 3 月 31 日までの日平均値であり、解析 対象地点は一般局 116 測定局とした。月 別の高濃度日数を図 5 に示した。7 月が最 も多く、次いで5,6 及び12 月が多かった。 平成 25 年度は 7~8 月に多く発生しており、高濃度事象の発生時期は年によって 異なることが分かった。次に、高濃度発生率を図 6 に示した。平成 25 年度は夏季 と晩秋~冬季に高濃度発生率が高かったのに対し、平成 26 年度は春季に高い結果 であり、特に 6 月についてはほぼ全地域 (長野県以外)で概ね高い傾向にあった。 都県別でみると、東京都が最も高く、次い で静岡県、神奈川県であった。

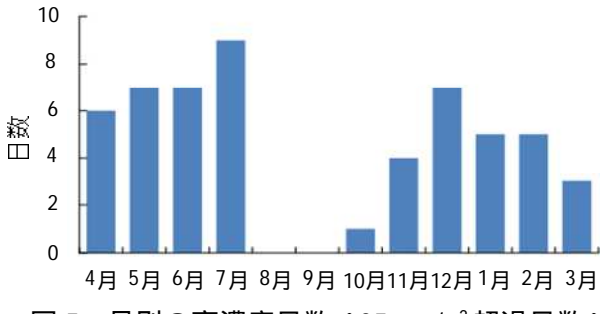


図 5 月別の高濃度日数 (35 μg/m³超過日数)

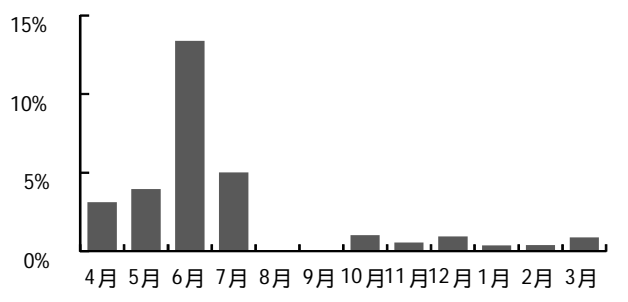


図 6 PM2.5 高濃度日発生率 (35 μg/m³ 超過データ数/全データ)

また、主な PM2.5 高濃度事象の期間と 表 1 主な PM2.5 高濃度事象 ¹ 発生地域を表1に示した。

5.2 PM2.5 高濃度事象の詳細解析

表1に示した高濃度事象のうち、季節 的な特徴を考慮してE3を除く5事象を解 析対象とし、常時監視データ(1時間値) を用いて高濃度事象の詳細解析を行った。

事象 No.	期間	発生範囲
E1	H26/4/16 ~ 18	茨城県、栃木県を除く8都県
E2	5/29 ~ 6/4	全地域
E3	6/16 ~ 18	7 都県
E4 ²	7/23 ~ 7/26	長野県を除く9都県
E5 ²	10/31 ~ 11/1	長野県、山梨県を除く8都県
E6	3/16 ~ 19	南関東および茨城県

」比較的規模の大きい事象を掲載.

² 成分分析期間中に発生した高濃度事象.

各事象の特徴と推測される要因を表2に示した。4月の事象(E1)は、越境汚染と地域汚 染との複合的な汚染、5~6 月の事象(E2)は、黄砂を含む粒子状物質の移流と光化学反応 による二次粒子の生成、7月の事象(E4)は、主に光化学反応による硫酸系二次粒子の生成 が高濃度化の要因と考えられた。また、10~11 月の事象(E5)及び3月の事象(E6)は、 主に地域的な影響を受けて硝酸系二次粒子や有機粒子が生成したと推測された。このよう な NO₃ , OC の増加による PM2.5 の高濃度化は、平成 25 年度の秋冬季にも同様の事象が見ら れており、この季節における高濃度化については関東内での地域汚染の影響が大きく、 PM2.5 濃度低減のためには、地域内での発生源対策が重要と考えられる。

表 2 高濃度事象の特徴と推測される要因

事象	規模	特 徴	推測される要因
E1	中	東海地方や東京湾沿岸部(西側)、関東平野中央部から北西部、甲信地方などで発生。関東平野の東部では発生していない。正午から深夜にかけて濃度が上昇。	越境汚染と地域汚染との複合的な汚染と考えられた。光化学反応が盛んで地域汚染としては主に硫酸系二次粒子が生成したと推測される。鹿島灘からの東風により関東東部の濃度が上昇しない。
E2	大	東海から東京湾沿岸部にかけて発生 したのち、関東全域に拡大。連日高 濃度が発生した。濃度のピークは正 午頃にみられるが夜間の濃度も比較 的高かった。	関東圏への黄砂を含む粒子状物質の移流と光化学反応による二次粒子の生成とが加わり、連続した高濃度が発生したと推測される。
E4	中	関東平野の中央部と東海地方の一部 で発生。濃度のピークは正午頃にみ られた。	主に光化学反応による硫酸系二次粒子の 生成により濃度が上昇したと推測され る。(詳細は 4.1~4.6 節を参照。)
E5	中	関東平野の中央部で発生。短期的に 濃度が上昇。濃度のピークは午後 6 時から深夜にかけてみられた。	埼玉付近で濃度が上昇した後北風に乗って高濃度域は関東平野南部に移った。Ox濃度上昇は限定的であり、主に地域的な影響を受け硝酸系二次粒子や有機粒子が生成したと推測される。また成分分析から廃棄物燃焼やバイオマス燃焼などの影響も示唆された。
E6	Ŋ١	東京湾の西側(主に東京、神奈川)で 限定的に発生。濃度のピークの出現 時刻は期間内で異なった。	活発な光化学反応はみられず、湿度が高かったことから、主に地域的な影響を受け硝酸系二次粒子や有機粒子が生成した可能性が高いと考えられた。(3月19日は原因物質と PM2.5 の濃度分布が一致せず生成要因は不明)

6 精度管理結果

イオン成分については、精度管理用試料を調製し、各機関へ未知試料として配付した。 NO_3 で平均濃度から 30%以上過大な値を示した機関、 K^* で平均濃度から 30%以上過小な値を示した機関が 1 機関ずつあり、変動係数 CV(%) が 10%を超えたが、それ以外の成分については CV(%) が 10%以内であり概ね良好な結果であった。

炭素成分については、ハイボリウムエアサンプラーで石英繊維ろ紙上に大気粉塵を採取し、これを未知試料として配付した。結果は 0C について CV (%)が 10%を超えたが、EC については、10%以内であり概ね良好な結果であった。

無機元素成分については、市販の混合標準液(24 元素)を希釈したものを配付した。成分ごとに CV (%)に差があり、特に Ca, Sc, Se では 20%以上と比較的大きかった。その他、4 元素 (K, Cu, Zn, La) についても CV (%) が 10%を超えるものが見られたが、17元素については、各機関の CV (%) が 9%以内であった。

7 今後の課題

平成 23 年度から PM2.5 の成分分析が常時監視の一環として各自治体で行われるようになった。平成 24 年度までは主要項目について、本調査会で協力・分担して分析が行われていたが、平成 25 年度には各自治体で分析体制が整ったことから、主要項目についてはほぼ各自治体の分析データが出揃うことになった。こうした中で各自治体のデータを解析したところ、平成 25 年度と同様、平成 26 年度のデータについても、特に無機元素成分では各機関での分析結果のバラツキが大きく、検出下限値のレベルにも差が見られた。今後も分析条件の共有や統一試料を用いた精度管理に努める必要がある。

また、平成 25 年度に開始した「常時監視データによる PM2.5 高濃度日出現状況の把握」を引き続き行うとともに、今年度から大気汚染常時監視の 1 時間値 (PM2.5 以外も含む)を用いた PM2.5 高濃度事象の詳細解析を始めた。その結果、各高濃度事象の特徴を捉え、その要因を推測することができた。これまでは、夏季を中心とした解析を行ってきたが、夏季以外にも特に春季や冬季に高濃度日が見られ、関東甲信静でも地域によって高濃度となるパターンが異なることから、今後は、四季の特徴を捉える解析方法にシフトするとともに、継続的に年間を通じた高濃度事象の解析を行っていく必要があると思われる。そして、本調査会で得られた知見については、学会やホームページ等で広く情報提供されることが望まれる。